

## Оглавление

	Стр.
<b>Введение</b> . . . . .	5
<b>Глава 1. Внедрение БШС на нефтегазовых месторождениях</b> . .	10
1.1 Этапы проектирования БШС . . . . .	12
1.2 Анализ современных беспроводных широкополосных технологий передачи данных . . . . .	14
1.2.1 Wi-Fi . . . . .	14
1.2.2 LTE . . . . .	18
1.2.3 5G NR . . . . .	20
1.3 Определение параметров БШС, необходимых для решения задач размещения базовых станций . . . . .	23
1.3.1 Энергетический потенциал канала связи . . . . .	24
1.3.2 Модель потерь в свободном пространстве . . . . .	26
1.3.3 Модель распространения SUI . . . . .	28
1.3.4 Модель двух лучевого распространения . . . . .	30
1.3.5 Модель Окамура-Хата . . . . .	30
1.3.6 Расчет параметров БС, необходимых для задачи оптимизации . . . . .	31
1.4 Оценка характеристик производительности сети с помощью стохастических моделей массового обслуживания . . . . .	33
1.4.1 Время передачи пакета в канале . . . . .	33
1.4.2 Расчет времени межконцевой задержки . . . . .	40
1.5 Выводы по главе 1 . . . . .	46
<b>Глава 2. Размещение базовых станций БШС для покрытия линейной территории</b> . . . . .	46
2.1 Актуальность внедрения БШС для телекоммуникационного покрытия линейного участка . . . . .	46
2.2 Математические модели синтеза топологии сети для охвата линейного участка в виде задачи целочисленного линейного программирования . . . . .	51

2.2.1	Постановка задачи . . . . .	52
2.2.2	Модель целочисленного линейного программирования . .	53
2.3	Математические модели синтеза топологии сети для охвата линейного участка в виде экстремальной задачи в комбинаторной форме . . . . .	59
2.3.1	Постановка задачи . . . . .	60
2.3.2	Дерево ветвлений для перебора элементов в множестве $\Gamma$ .	62
2.3.3	Метод ветвей и границ для задачи размещения БС . . . .	65
2.3.4	Построения последовательности топологий для итерационной процедуры моделирования БШС . . . . .	70
2.4	Выводы . . . . .	71

### **Глава 3. Размещение базовых станций БШС для**

**обслуживания множества рассредоточенных объектов . 74**

3.1	Актуальность внедрения БШС для обслуживания рассредоточенных объектов . . . . .	74
3.2	Математическая модель задачи проверки допустимого решения при заданных местах размещения станций. . . . .	75
3.2.1	Постановка задачи . . . . .	76
3.2.2	Модель линейного программирования . . . . .	77
3.3	Математическая модель оптимальной задачи выбора набора размещаемых станций и определения мест их размещения . . . .	83
3.3.1	Постановка задачи. . . . .	83
3.3.2	Модель частично целочисленного линейного программирования . . . . .	85
3.4	Выводы . . . . .	91

### **Глава 4. Программный комплекс и численные примеры**

**решения задач представленных математических  
моделей . . . . . 93**

4.1	Программный комплекс расчета задачи размещения БС . . . . .	93
4.2	Численный пример оптимального размещения базовых станций сети с линейной топологией в виде задачи целочисленного линейного программирования . . . . .	97

4.3	Численный пример оптимального размещения базовых станций сети с линейной топологией в виде экстремальной задачи в комбинаторной форме . . . . .	101
4.4	Метод ветвей и границ на примере задачи размещени двух базовых станций . . . . .	104
4.5	Сравнения оценок «недопокрытия» для задачи 2, 3 и 4 . . . . .	111
4.6	Сравнительная оценка полученных модели ЦЛП и модели в комбинаторной форме, решаемой с помощью МВиГ . . . . .	113
4.7	Выводы . . . . .	114
<b>Заключение . . . . .</b>		<b>116</b>
<b>Список сокращений и условных обозначений . . . . .</b>		<b>118</b>
<b>Словарь терминов . . . . .</b>		<b>119</b>
<b>Список литературы . . . . .</b>		<b>120</b>
<b>Список рисунков . . . . .</b>		<b>137</b>
<b>Список таблиц . . . . .</b>		<b>139</b>

## Введение

В настоящее время заметна тенденция бурного развития информационных технологий во всех сферах деятельности человека. Основными перспективными направлениями являются: цифровая трансформация транспортного комплекса, глобальная цифровизация нефтегазового сектора страны, переход к малолюдным технологиям. Это подход подразумевает не только оснащение современным технологичным оборудованием, но и глобальное изменение в подходах управления, сбора информации и средств коммуникаций. Уже сейчас основными современными информационными технологиями, встречающимися на пути трансформации являются: большие данные (Big Data), предиктивные модели на искусственных нейронных сетях (Artificial Neural Network), системы распределенного реестра (Blockchain), промышленный интернет вещей (Industrial internet of things, IIoT), технологии виртуальной и дополненной реальности (Virtual Reality, VR), мониторинг распределенных объектов с помощью беспилотных летательных аппаратов БПЛА (Unmanned Aerial Vehicle, UAV). В совокупности данные технологии создают необходимость в эффективной передаче больших объемов высокоскоростного трафика. Одним из путей решения данной проблемы является внедрение беспроводных технологий.

В настоящее время беспроводные технологии являются неотъемлемой частью процесса «цифровизации». Активное использование беспроводных сетей основывается на ряде их преимуществ по сравнению с кабельными сетями:

- организация связи в труднодоступных регионах;
- быстрый ввод в эксплуатацию по системе подключение типа «Подключил и Работай» (Plug-&Play);
- сокращение капитальных затрат на создание сети;
- уменьшение затрат на эксплуатацию;
- высокая гибкость, мобильность, масштабируемость;
- упрощенные требования к обслуживанию оборудования.

В рамках этого процесса возникает актуальная научно – техническая проблема повышения качества проектирования беспроводной сети связи, осуществляющей сбор и передачу информации в центр управления с множества контролируемых объектов на некоторой территории и контроль самой территории.

Процесс проектирования современной беспроводных сетей связи состоит из последовательного решения взаимосвязанных задач:

- обследование местности;
- выбор типов технических средств и протоколов;
- выбор топологической структуры сети;
- анализ и оценка будущей беспроводной сети с помощью математического моделирования.

Данная работа посвящена проблеме оптимизации топологической структуры беспроводной широкополосной сети (БШС).

**Степень разработанности темы.** Создание и постоянное развитие современной инфраструктуры передачи данных является одной из основных задач цифровизации. Бурное развитие беспроводных сетей во всех областях деятельности человека: интеллектуальные транспортные системы вдоль автомобильных дорог, мониторинг нефтегазовых объектов, организация современного высокоскоростного покрытия в общественных зонах обосновывает целесообразность их использования. В настоящее время в России и за рубежом исследованию беспроводных сетей связи посвящен ряд работ, рассматривающие сети для контроля гражданских и промышленных объектов. Примерами таких объектов является жилые районы города, протяженные автомагистрали, железные дороги, трубопроводы и др. В частности, при исследовании проблемы синтеза топологии сети автор опирался на труды таких отечественных ученых как: В.М. Вишнеvский, О.Ю. Першин, В.М. Малыш, А.А. Ларионов, Ю. В. Гайдамака и другие. Наряду с отечественными работами диссертант обращался к трудам зарубежных авторов: Е.С. Кавальканте, Х. Лиу, А.Б. Рейз, Д.Ли, Д.П. Хейман, С. Шен, Д. Бендель, У. М. Амин, Б. Брахим, Х.Э. Кызылѐз и другие.

В работах указанных авторов рассматриваются задачи оптимального синтеза топологии сети и исследуются вопросы анализа сетей, в том числе рассматриваются оценки характеристик сетей с помощью стохастических моделей сетей массового обслуживания.

Исследования доведены до разработки алгоритмов и программ, применимых для решения практических задач. Проведены численные эксперименты, позволяющие оценить характеристики вычислительных методов.

**Объектом исследования** являются БШС специальных типов, широко представленных на практике: БШС для контроля линейных траекторий и БШС

с ячеистой топологией (mesh) для контроля объектов, рассредоточенных на некоторой территории.

**Предметом исследования** является синтез топологической структуры беспроводной широкополосной сети.

**Цель диссертационного исследования** состоит в разработке моделей и методов оптимального размещения базовых станций для БШС указанных типов, определяющего топологию таких сетей.

Для достижения поставленной цели были решены следующие **задачи**:

1. Проведен анализ современного состояния и перспектив развития БШС для обоснования актуальности исследований в области оптимизации их топологии.
2. Проанализирована методика проектирования современных БШС с целью определения технологических требований к решению задачи синтеза оптимальной топологии сети, а также расчета параметров БШС, необходимых для решения задач размещения базовых станций.
3. Построены математические модели для задачи оптимального размещения базовых станций БШС с линейной топологией, разработан алгоритм типа метода ветвей и границ (МВиГ) для решения указанной задачи, предложена итерационная процедура нахождения последовательности лучших решений в размещении базовых станций в рамках комплексного проектирования сети.
4. Разработаны математические модели для проектирования и анализа БШС с ячеистой топологией.

**Научная новизна** результатов исследования заключается в следующем:

1. Построены математические модели в виде экстремальной комбинаторной задачи и задачи целочисленного линейного программирования (ЦЛП) для оптимального размещения базовых станций при проектировании БШС с линейной топологией.
2. Разработан специальный алгоритм МВиГ для решения сформулированной экстремальной комбинаторной задачи размещения базовых станций вдоль линейной территории.
3. Разработана итерационная процедура нахождения последовательности лучших решений для задачи размещения базовых станций в рамках комплексного проектирования БШС с линейной топологией.

4. Разработан программный комплекс для ЭВМ расчета комбинаторной задачи.
5. Разработаны математические модели для задач проектирования БШС с ячеистой топологией.

**Область исследования.** Диссертационная работа соответствует содержанию специальности 05.13.18, а именно следующим пунктам специальности:

1. Разработка новых математических методов моделирования объектов и явлений.
2. Развитие качественных и приближенных аналитических методов исследования математических моделей.
3. Разработка новых математических методов и алгоритмов интерпретации натурного эксперимента на основе его математической модели.
4. Разработка программного комплекса решения задачи поиска оптимального размещения базовых станций.

**Практическая значимость.** Разработанные модели и методы позволяют повысить качество и эффективность проектирования БШС для распространенных типов таких сетей.

**Методы исследования.** В работе использованы теория и методы оптимизации на конечных множествах и теории массового обслуживания. При разработке программного обеспечения использовались методы объектно-ориентированного программирования, метода построения бинарного поиска.

**Основные положения, выносимые на защиту:**

1. Математическая модель в виде задачи ЦЛП для оптимального размещения базовых станций при проектировании БШС с линейной топологией.
2. Математическая модель в виде экстремальной комбинаторной задачи для оптимального размещения базовых станций при проектировании БШС с линейной топологией.
3. Специальный алгоритм МВиГ для решения сформулированной экстремальной комбинаторной задачи.
4. Итерационная процедура нахождения последовательности лучших решений для задачи размещения базовых станций в рамках комплексного проектирования БШС с линейной топологией.
5. Математические модели для задач проектирования БШС с ячеистой топологией;

**Апробация работы.** Основные положения и результаты исследования представлены и обсуждены на научных конференциях «Губкинский университет в решении вопросов нефтегазовой отрасли России» (Москва, 17-21 сентября 2018); «13-е Всероссийское совещание по проблемам управления» (Москва, 17-20 июня 2019); «International Conference on Distributed Computer and Communication Networks: Control, Computation, Communications» (Москва, 22-27 сентября 2019), «Губкинский университет в решении вопросов нефтегазовой отрасли России» (Москва, 24-26 сентября 2019); «Conference Management of Large-Scale System Development» (Москва, 1-3 октября 2019); «Information and Telecommunication Technologies and Mathematical Modeling of High-Tech Systems» (Москва, 13-17 апреля 2020); «Computer-aided technologies in applied mathematics» (Томск, 7-9 сентября 2020); «International Conference on Distributed Computer and Communication Networks: Control, Computation, Communications» (Москва, 14-18 сентября 2020); «Information and Telecommunication Technologies and Mathematical Modeling of High-Tech Systems» (Москва, 19-23 апреля 2021); «5th International Scientific Conference on Information, Control, and Communication Technologies» (Астрахань, 4-7 октября 2021)

**Личный вклад.** Основные результаты диссертации, выносимые на защиту получены автором самостоятельно.

**Публикации.** Основные результаты по теме диссертации изложены в 15 печатных изданиях, 2 из которых изданы в журнале, рекомендованных ВАК, 3 — в периодических научных журналах, индексируемых Web of Science и Scopus, 10 — в сборниках трудов конференции. Зарегистрирована 1 программа для ЭВМ.

**Объем и структура работы.** Диссертация состоит из введения, 4 глав, заключения и 0 приложений. Полный объем диссертации составляет 139 страниц, включая 32 рисунка и 26 таблиц. Список литературы содержит 0 наименований.



## Глава 1. Внедрение БШС на нефтегазовых месторождениях

### ПЕРЕДЕЛАТЬ ВСЕ неправильно

Цифровая трансформация является первостепенной задачей для развития нефтегазового комплекса. Переход производства к новой модели управления «Индустрия 4.0» позволит бизнесу сохранить лидирующие позиции и не утратить производственного потенциала [1, 2]. Неотъемлемой частью такой трансформации является внедрение беспроводных технологий [1, 2, 3, 4, 5, 6, 7].

Современные беспроводные широкополосные сети связи (БШС), обладая рядом преимуществ, нашли свое широкое применение в задачах мониторинга и управления различных производственных или гражданских объектов, технологических установок, движущихся транспортных средств и т.п. К ряду таких преимуществ можно отнести возможность получения информации с любой точки контролируемой территории, быстрый ввод в эксплуатацию, сокращение капитальных затрат на создание и эксплуатацию сети, высокая гибкость, мобильность и масштабируемость.

Нефтегазовые объекты часто расположены в труднодоступной местности на обширной территории в несколько километров. Данный фактор является ключевым преимуществом беспроводных технологий для развертывания по сравнению с кабельными коммуникациями.

Беспроводная связь в автоматизации промышленного производства способствует осуществлению производственных процессов более экономически эффективно, гибко и надежно, а также позволяет реализовывать новые концепции автоматизации [8]. Для управления большими объемами на месторождениях применение беспроводных каналов связи в режиме 60/24/7, позволяющая операторам принимать обоснованные управленческие решения, своевременно диагностировать и устранять неисправности, а также оптимизировать работу АСУ ТП в целом [9].

Не маловажную роль на месторождениях играет безопасность. Технологические объекты на нефтяных или газовых месторождениях, оснащенных широкополосным подключением, позволяют соответствовать современным концепциям и требованиям в сфере безопасности персонала и безопасности имущества, включая охрану с использованием беспроводных камер видеонаблюдения. Для предоставления доступа к объекту могут использоваться

дополнительные возможности, такие как считывание номерных знаков и распознавание лиц. А благодаря использованию тепловых камер можно контролировать риски отключения и перегрузки даже с помощью периодических снимков оборудования на промысле.

Внедрение БШС особенно хорошо подходит для систем видеонаблюдения, поскольку позволяют расположить камеры там, где они нужны, а не там, где удобно для подключения к проводной сети.

В данном исследовании в рамках цифровой трансформации «Индустрия 4.0» представлены модели и методы оптимизации при проектировании беспроводных сетей на месторождениях (Рисунок 1.1).



Рисунок 1.1 — Задача синтеза топологии при проектировании БШС в рамках цифровой трансформации "Индустрия 4.0".

## 1.1 Этапы проектирования БШС

Для обеспечения высокого качества беспроводной связи необходимо проводить грамотное проектирование БШС. Существуют различные подходы к проектированию беспроводных сетей. Для одних задач является максимальной зона покрытия, для других – достижения максимальной производительности передачи данных, для третьих – нахождения баланса между зоной охвата и производительностью [10]. В диссертации будут предложены модели и методы оптимального размещения базовых станций (БС) БШС, целью которых является максимальная зона охвата. Процесс проектирования современной БШС, как правило, для такого подхода имеет следующие основные этапы (Рисунок 1.2):

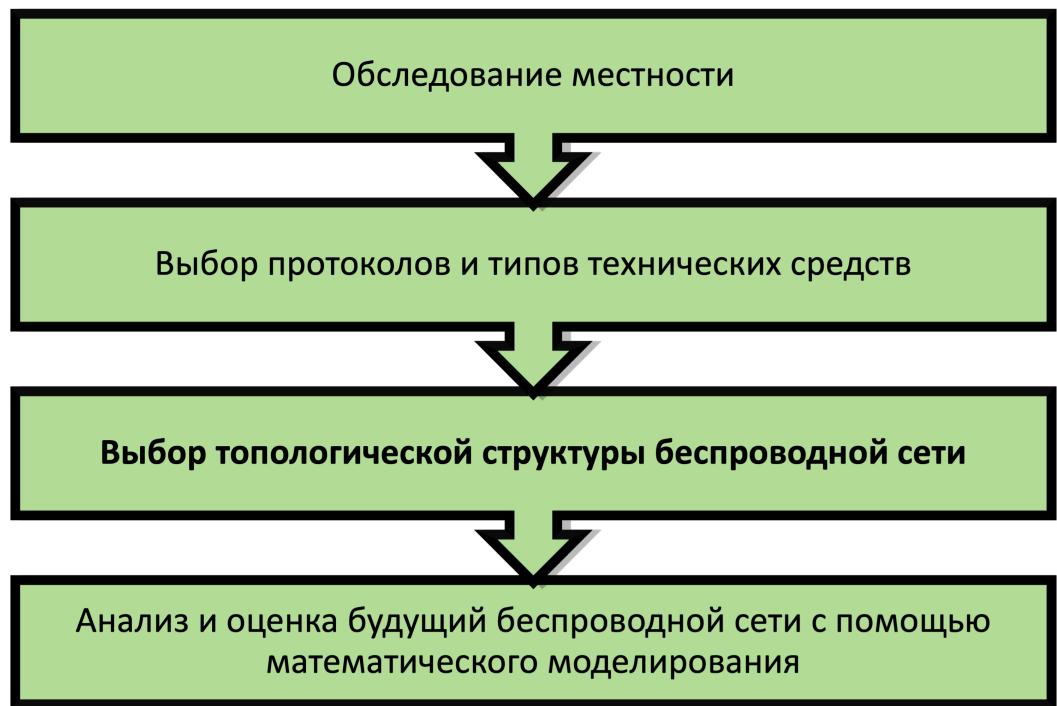


Рисунок 1.2 — Этапы проектирования БШС.

Любое проектирование БШС всегда начинается с первоначального обследования местности. В данный этап входят задачи радиобследования и радиопланирования. оценки реальных размеров области контроля, наличие стационарных инженерно-технических сооружений, мешающих передаче сигнала, такими как металлические конструкции, перекрытия, стены и т.д. При развертывании БШС в открытой местности также немаловажную роль играет наличие перепада высот. В ходе выполнения комплекса работ на местности,

определяются возможные точки размещения оборудования [11]. На основе результатов данного этапа проводится выбор типов моделей оборудования для дальнейшего их размещения и организации сети.

Производительность и дальность действия беспроводных сетей не безграничны. При их проектировании стоит учитывать множество параметров: частота, скорость, мощность излучения [10]. На этапе выбора оборудования необходимо определиться с протоколом будущей БШС и подготовить необходимый комплекс технических средств для развертывания будущей сети. БС является основополагающим устройством будущей сети, которая отвечает за покрытие заданной области. Покрытие в свою очередь зависит от мощности передатчика устройства, усиления антенн, чувствительности приемного устройства.

После определения множества возможных точек размещения БС на этапе обследования местности и выборе возможных типов и моделей оборудования можно переходить непосредственно к размещению БС и определению топологической структуры сети. Этап выбора топологической структуры будущей сети является ключевой проблемой данной диссертации. В рамках данной проблемы будут предложены модели и методы оптимального размещения БС для организации БШС.

После решения задачи синтеза топологии, для полученного размещения решаются задачи оценки характеристик производительности БШС. Для расчета оценок широко применяется аппарат теории массового обслуживания (ТМО). Примерами таких задач являются расчет надежности всех элементов сети [12, 13, 14], оценка характеристик качества канала, вероятности потери пакетов, пропускной способности, времени доставки сообщений в сети [15, 16, 17, 18, 19, 20], оценка межконцевой задержки сети [18, 19]. В работе [21] рассматривают стохастическую модель марковской цепи для оценки качества передачи данных автоматизированных систем управления технологическим процессом (АСУ ТП) в условиях помех и прерываний. Одним из современных направлений в исследовании характеристик производительности БШС является использование ТМО в совокупности с методами машинного обучения (МО) [22, 23].

Описанная процедура проектирования БШС является общей для большинства внедрения беспроводных коммуникационных сетей. В зависимости от конкретных целей, которые преследуют проектировщики, план работ может требовать содержание конкретных этапов и подзадач проектирования. В общем

же случае проектирование БШС будет происходить согласно данной последовательности этапов. В изложенной концепции важным является представление места результатов исследования данной диссертации в глобальной задаче комплексного проектирования.

## **1.2 Анализ современных беспроводных широкополосных технологий передачи данных**

Существуют множество различных протоколов БШС, используемых на месторождении. Любая сеть имеет свои преимущества для конкретной задачи. Исходя из специфики таких задач, можно выделить два больших класса. Первый класс – это сети, узлами которого являются измерительные устройства (сенсоры) АСУ ТП. Такие сети называют ячеистые сенсорные сети. Для таких сетей характерны низкоскоростной трафик, малое энергопотребление, высокие требования к надежности передачи, а также надежности, непосредственно, оборудования. Вторым классом сетей являются БШС, для которых характерны высокая скорость передачи, большая дальность передачи сигнала от нескольких десятков метров до нескольких сотен метров. Примерами таких сетей являются сети второго уровня, объединяющие кластеры сенсорных сетей для передачи данных в центр управления. Также примером является БШС сбора мультимедийного трафика с беспроводных камер видеонаблюдения.

### **1.2.1 Wi-Fi**

Семейство протоколов IEEE 802.11 или Wi-Fi является одним из популярных протоколов среди беспроводных сетей широкополосного доступа. Широкое применение Wi-Fi не могло не отразиться и на нефтегазовом секторе [24, 25, 26, 27].

Стандарт определяет два типа топологий. Первая топология в стандарте называется независимой (Independent Basic Service Set, IBSS) на основе "точка-точка". Такую сеть также называют Ad-Hoc сетью. Передача в сети произво-

дится на основе децентрализованного алгоритма доступа. Хотя и не существует главной базовой станции, в сети Ad-Нос в каждый момент времени любой узел может взять ведущую роль базовой станции. Следующий тип – централизованная топология. Такой тип сети называют Infrastructure Basic Service Set или просто BSS [28]. Узлы сети могут обмениваться только с базовой станцией, обеспечивающее взаимодействие между всеми конечным узлами сети.

Стек протоколов стандарта IEEE 802.11 соответствует общей структуре 802 (Рисунок 1.3). Физический уровень практически соответствует физическому уровню в модели OSI. Канальный уровень во всех протоколах 802.x разбит на два или более подуровня. Подуровень управления доступа к среде обеспечивает адресацию и механизмы управления доступом к каналам. Подуровень MAC выступает в качестве интерфейса между физическим уровнем и подуровнем управления логическим соединением (LLC). Задача LLC состоит в том, чтобы сделать различия стандартов 802.11x невидимыми для сетевого уровня [29]. На уровне MAC протокола 802.11 определяются два типа доступа к среде передачи данных: функция распределенной координации (Distributed Coordination Function, DCF) и функция централизованной координации (Point Coordination function, PCF), работающий только в режиме IBSS [30].



Рисунок 1.3 — Часть стека протоколов 802.11

**Развитие стандарта.** Первый стандарт в 1997 году поддерживал скорость передачи до 1,2 Мбит/с с рабочем диапазоном частот 2,4 ГГц. Уже в 1999

году стандарт 802.11b скорость передачи достигала 11 Мбит/с. В тот же 1999 год одновременно вышел 802.11a, поддерживающий способ модуляции OFDM – мультиплексирование с ортогональным частотным разделением каналов. Данный метод модуляции пришел на смену методов прямой последовательности для расширения спектра (direct sequence spread spectrum, DSSS) и псевдослучайная перестройка рабочей частоты (frequency-hopping spread spectrum, FHSS). Протокол работает в диапазоне частот 5 ГГц. Данное введение позволило увеличить скорость до 54 Мбит/с. В 2003 году появился 802.11g, в котором OFDM стал совместим с 802.11b DSSS. В 2009 году, в рамках стандарта 802.11n была завершена работа над методами передачи данных SU-MIMO (Single User – Multiple Input Multiple Output), которые одновременно используют несколько антенн на приемнике и передатчике, что дает очередной выигрыш в скорости. Благодаря четырем антеннам и более широким каналам стандарт 802.11 теперь определяет скорости до 600 Мбит/с [29, 31]. В 2013 году появился стандарт 802.11ac с максимальной теоретической скоростью беспроводного соединения 3,47 Гбит/с. В данном стандарте представлена технология одновременная передача по нескольким антеннам сразу четырем клиентам MU-MIMO (Multi User – Multiple Input Multiple Output). В 2021 была представлена сеть шестого поколения Wi-Fi 6, стандарт получил название IEEE 802.11ax. Скорость передачи достигает 9608 Мбит/с. Стандарт работает на частотах 2,4 ГГц и 5 ГГц. Реализован новый тип модуляции – 1024-QAM. Теперь MU-MIMO работает для одновременной передачи до восьми клиентам. Кроме того, Wi-Fi 6 обеспечивает эффективную работу в сетях IoT, существенно повышая эффективность работы с малыми объемами данных и эффективно используя батарею маломощных измерительных устройств за счет сокращения обмена служебной информацией.

**Беспроводной широкополосный доступ вдоль протяженных автомобильных дорог.** Обеспечение безопасности на автодорогах, в том числе на промысле, является актуальной задачей на сегодняшний день. Одним из методов ее решений является создание современной инфраструктуры передачи мультимедийной информации вдоль протяженных автомагистралей [32]. Для реализации такой сети разработан стандарт IEEE 802.11p/WAVE. Протокол разработан для обмена данными между высокоскоростными транспортными средствами, а также между транспортными средствами и придорожной инфраструктурой. Такие сети называются V2X (Vehicle-to-everything). 802.11p

работает в диапазоне 5,85–5,925 ГГц для движущихся объектов на скорости до 200 км/ч мимо неподвижных базовых станций на расстоянии до 1 км. Протокол IEEE 802.11p входит в состав стандарта Wireless Access in Vehicular Environ (WAVE) и является своего рода интерфейсом для связи с IEEE 1609. В совокупности два этих стандарта определяют интерфейс и набор дополнительных функций для обеспечения связи между движущимися объектами [33].

**Ячеистая топология стандарта 802.11.** Стандарт поддерживает MESH топологию. Все нововведения относятся к MAC уровню и рассматриваются вопросы маршрутизации пакетов в рамках mesh-сети. Фактически в стандарте рассматриваются сетевой и транспортный уровень модели OSI. Пакет уровня MAC содержит дополнительный MESH - заголовок в отличие от стандартных заголовка пакетов 802.11. В заголовке указывается время жизни пакеты при пересылке через несколько узлов сети [34]. Такой подход помогает решить проблему наличия циклов при выборе пути передачи. Протоколы маршрутизации делят на два класса: проактивный – каждый узел строит свою таблицу маршрутизации и делится информацией об изменении топологии сети со своими соседями и реактивный – таблицы маршрутизации не строятся, маршрут составляется по мере необходимости. Стандарт 802.11s определяет гибридный протокол маршрутизации по умолчанию – HWMP (Hybrid Wireless Mesh Protocol). Также стандарт позволяет разработчикам оборудования использовать альтернативные методы маршрутизации. Режим энергосбережения в 802.11s является опциональным [30]. Точки доступа MESH-сети (MESH Access Point, MAP) всегда активны, так как в любой момент времени могут обратиться устройства, не поддерживающие непосредственно 802.11s. Необходимость возникает в случае IoT, когда всегда устройства имеют автономное питание (измерительные устройства, датчики) [34].

При внедрении беспроводных технологий необходимо учитывать специфику выполняемых задач будущей сети. Для каждой конкретной цели существуют свои требования к скорости передачи данных, дальности связи, потребляемой мощности, помехозащищённости, надежности и т.д. Чтобы учесть специфику данных задач разработано множество беспроводных решений, охватывающее дальность связи от несколько сантиметров до десятков километров и скоростей передачи от единиц Кбит/с до сотен Мбит/с.



### 1.2.2 LTE

Сеть LTE (Long-Term Evolution) состоит из двух компонентов:

- сети радиодоступа E-UTRAN (Evolved Universal Terrestrial Radio Access Network);
- архитектура ядра сети SAE (System Architecture Evolution)

Сеть радиодоступа E-UTRAN состоит из базовых станций сети eNodeB (или eNB, evolved Node B). Интерфейс X2 позволяет соединить узлы eNodeB по принципу «каждый с каждым» для переключения устройств между базовыми станциями.

Основным компонентом архитектуры SAE является Evolved Packet Core (EPC), в состав которого входят следующие логические элементы [35]:

1. MME (Mobility Management Entity) – узел управления мобильностью абонентского терминала, взаимодействует с базовыми станциями с помощью протоколов плоскости управления C-plane через интерфейс S1-C;
2. UPE (User Plane Entity) – выполняет сжатие заголовков IP-протоколов, шифрование потоков данных, терминацию пакетов данных плоскости пользователя, коммутацию пакетов данных при обеспечении мобильности пользователя. Передача данных пользователей происходит согласно протоколам плоскости пользователя U-plane, взаимодействие с eNode происходит с помощью интерфейса S1-U.

Архитектура сети LTE представлена на рисунке 1.4. Интерфейс S1 необходим для соединения базовой станции eNodeB с узлами MME/UPE.

Базовые станции eNB выполняют функции управления радиоресурсами (Radio Resource Management, RRM): управление радиоканалами (Radio Bearer Control), управление доступом (Radio Admission Control), управление мобильностью (Connection Mobility Control), динамическое распределение ресурсов (Dynamic Resource Allocation).

LTE в России работает на частотах в диапазоне 800, 1800 и 2600 МГц. В нижних диапазонах, где всё отлично с покрытием, проблема найти полосу достаточной для полноценного LTE ширины. В верхних обычно хорошо с частотным ресурсом, но площадь покрытия в 5-6 раз меньше при прочих равных.

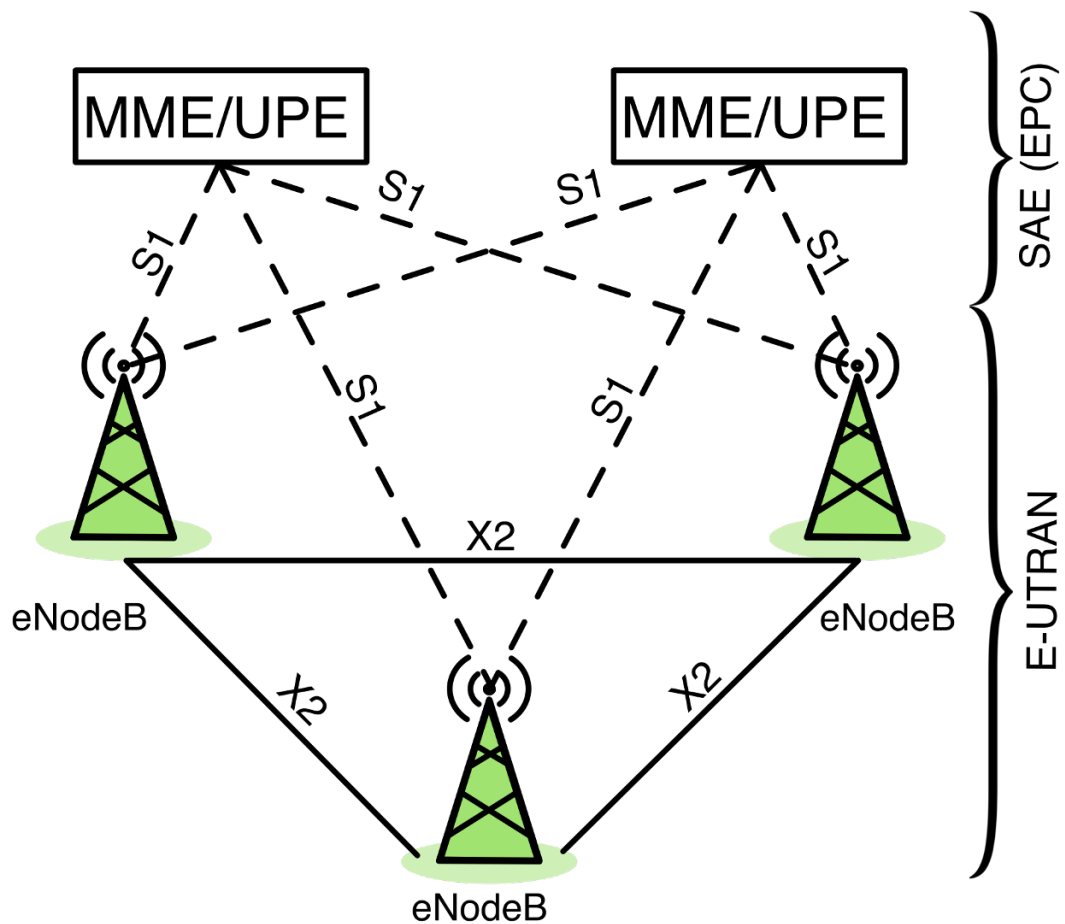


Рисунок 1.4 — Архитектура сети LTE.

В 2010-е годы переход к 4G LTE-A (LTE-Advanced) предоставил возможность передачи на скоростях в нисходящем канале до 100 Мбит/с для мобильных и 1 Гбит/с для малоподвижных абонентов. Такая скорость дала возможность передачи высокоскоростного мультимедийного трафика. В сетях LTE-Advanced из архитектуры сети LTE исчезло понятие контроллера радиосети (Radio Network Controller, RNC), который выполнял функцию по управлению коммуникационными ресурсами. Управляющие функции перешли к базовым станциям, которые теперь, помимо обслуживания радиочасти, стали принимать решение о маршрутизации всего поступившего к ним трафика от абонентов. Данное введение позволяет организовывать соединения между близкими абонентами напрямую, минуя ядро сети, что существенно разгружает межузловую нагрузку на опорной сети.

### 1.2.3 5G NR

Принято выделять три основные области применения для сетей 5G:

1. eMBB (enhanced Mobile BroadBand) – предоставление усовершенствованного широкополосного мобильного доступа для сценариев, где приоритетом являются пользовательская скорость передачи данных, трафик на единицу площади, мобильность, энергоэффективность и эффективность использования спектра;
2. mMTC (massive Machine-Type Communication) – развертывание крупномасштабной системы межмашинной связи с высокой плотностью соединений, характеризуется большим количеством подключенных устройств, передающих низкоскоростной трафик, который нечувствителен к задержкам;
3. URLLC (Ultra-Reliable and Low-Latency Communication) – предоставление высоконадежного соединения с очень низкой задержкой передачи данных.

Международный союз электросвязи МСЭ-R определил показатели главных эксплуатационных характеристик сети, достижение которых позволяет отнести ее к сети 5-го поколения. Требования к ключевым показателям эффективности сетей 5G/IMT-2020 определены в 3GPP TR 38.913 [36]:

- пиковая скорость передачи данных в канале вниз (DL) 20 Гбит/с и в канале вверх (UL) 10 Гбит/с;
- пиковая спектральная эффективность для DL – 30 бит/с/Гц и для UL – 15 бит/с/Гц;
- сквозная задержка на уровне управления (control plane latency) 10 мс, на уровне пользователя (user plane latency) для услуг типа eMBB 4 мс в UL/DL и для услуг типа URLLC 0,5 мс в UL/DL;
- вероятность потери пакета  $10^{-5}$  для пакета размеров 32 байт со сквозной задержкой в сети в 1 мс для услуг URLLC;
- максимально возможное ослабление радиосигнала между передатчиком и приемником (Maximum Coupling Loss, MaxCL), при котором данные могут быть успешно приняты 164 дБ при скорости передачи данных равной 160 бит/с;
- плотность подключенных устройств: 1 млн на 1 км<sup>2</sup>;

- срок работы батареи устройства: 10 – 15 лет для устройств IoT/M2M/D2D;
- скорость передвижения абонентского устройства – до 500 км/ч и беспрерывное обслуживание при хэндовере.

По спецификациям 3GPP диапазоны 5G/IMT-2020 разделены на два поддиапазона (Frequency Range) FR1 (450–6000 МГц) и FR2 (24,25 – 52,6 ГГц). Также документами ассоциации GSMA частоты на 3 группы: ниже 1 ГГц (частотный диапазон FR1), в полосе 1 – 6 ГГц (частотный диапазон FR1) и свыше 6 ГГц (частотный диапазон FR2) [37].

В отличие от предыдущих поколений, где для каждого нового поколения сетей связи (2G, 3G, 4G) разрабатывался новый радиоинтерфейс, для технологии 5G/IMT-2020 планируется применять как новый радиоинтерфейс (New Radio или NR согласно спецификациям 3GPP), так и эволюцию стандарта LTE-A. Стандарт LTE-A продолжает эволюционировать, приближаясь по своим характеристикам к возможностям стандарта NR. В стандарте LTE-A уже реализована поддержка активных антенных систем, использование более эффективного кодирования и модуляции, агрегация нескольких частотных каналов, уменьшенная задержка на уровне радиоинтерфейса. Новый радиоинтерфейс NR изначально разрабатывался для обеспечения более высоких скоростей передачи данных и меньших задержек, более эффективного использования частотного ресурса [37].

Чтобы обеспечить интеграцию с существующими устаревшими системами 4G и обеспечить независимое развертывание 5G RAN и 5G Core, 3GPP определил набор параметров архитектуры.

Для обеспечения интеграцию с существующими сетями 4G/LTE 3GPP определил несколько вариантов развёртывания (Deployment Options) сетей 5G NR. Существует варианты совместного развёртывания с существующими сетями LTE-A – класс Non-Standalone (NSA). Внедрение новых полноценных сетей 5G NR относятся к классу Standalone (SA). Большинство операторов не смогут единовременно перевести все имеющиеся сети LTE на 5G из-за огромных затрат и связанных с этим проблем обратной/прямой совместимости между системами [38, 39, 40, 41]. Варианты архитектуры определяются в соответствии с различными сценариями развёртывания сетей.

На рисунке 1.5 представлены варианты развёртывания сетей 5G. Все варианты размещения содержат различные типы базовых станций: eNB – базовая

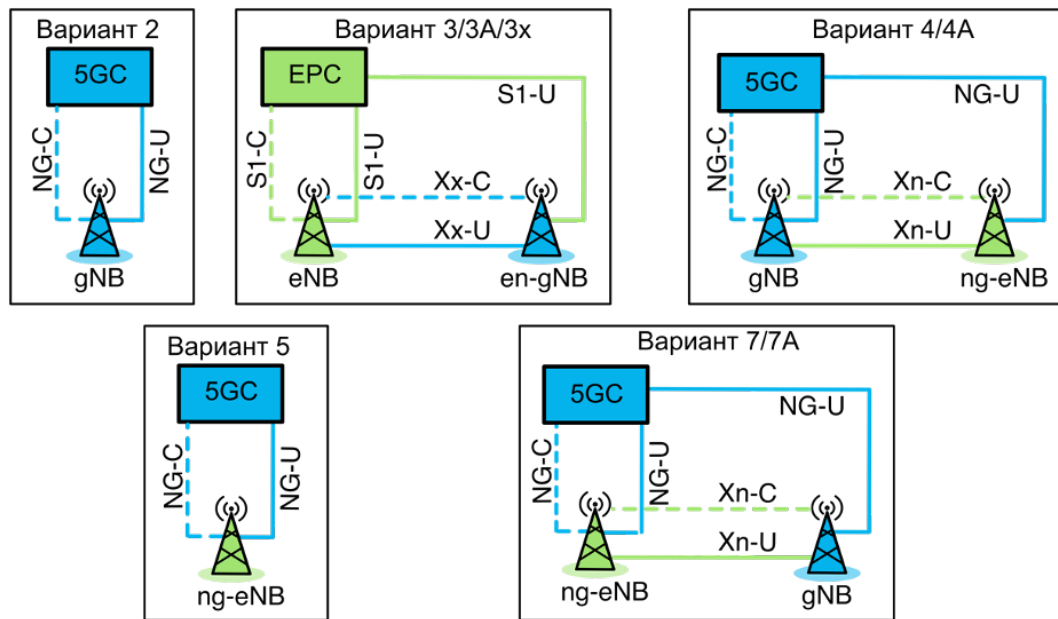


Рисунок 1.5 — Сценарии развертывания 5G NR

станция существующей сети LTE, gNB – базовая станция новой сети 5G NR, en-gNB и ng-eNB – базовые станции, которые обеспечивает стандарт сети LTE для конечных пользователей и подключены к ядру 5GC новой сети 5G NR. Здесь NG-C, NG-U – протоколы интерфейса между gNB/eLTE eNB и функциями плоскости управления (Control Plain, CP) и плоскости пользователя (User Plane, UP), соответственно. Интерфейсы S1-C (плоскость управления) и S1-U (плоскость пользователя) – интерфейсы сетей LTE для связи базовой станции с EPC. Xx – межсетевой интерфейс между узлом LTE eNB и узлом gNB, и интерфейс Xn – межсетевой интерфейс между двумя узлами gNB.

Варианты развертывания 5G :

- Вариант 2. Сценарий развертывания новой сети SA NR, наиболее привлекателен в областях, где нет устаревшей системы LTE и требуется развертывание полноценной системы доступа 5G NR. В SA NR базовые станции gNB (Next Generation NodeB) подключаются к ядру 5GC (5G core);
- Вариант 3/3A/3x. Сценарий развертывания NSA NR в существующий EPC сети LTE. Предполагается, что данный сценарий будет самым распространенным на практике [42]. Передача пользовательских данных сети NR от базовой станции en-gNB будет происходить непосредственно к EPC или через базовую станцию LTE eNB;
- Вариант 4/4A. Сценарий развертывания сети NSA NR, в которой имеющиеся базовые станции LTE eNB усовершенствованы до ng-eNB и

вместо ядра EPC используется 5GC. Якорной точкой для терминирования NG-C являются базовые станции сети радиодоступа NR (gNb). Данная архитектура является финальной версией перехода к сценарию комбинированного использования сети 5G/LTE;

- Вариант 5. Сценарий развертывания особенно подходит для областей, где нет устаревшей системы LTE и развернуты развитые системы доступа E-UTRA. При данном сценарии развертывания базовые станции ng-eNB подключаются к 5GC;
- Вариант 7/7A. Сценарий может использоваться как промежуточный этап, в котором имеющиеся базовые станции eNB и ядро EPC сети LTE возможно обновить до ng-eNB и 5GC. В качестве основных базовых станций выступают ng-eNB, которые подключаются к 5GC. LTE построена более полно и, следовательно, более надежна для обработки сигналов. Базовые станции gNB подключаются через ng-eNB или непосредственно напрямую к 5GC.

### **1.3 Определение параметров БШС, необходимых для решения задач размещения базовых станций**

Этап выбора топологической структуры беспроводной сети состоит из решения задач оптимального размещения БС. В дальнейшем для решения данных задач необходимо будет ввести параметры БС: радиус связи – максимальная теоретическая дальность связи базовой станции с соседней станцией, удовлетворяющей требуемому качеству передачи сигнала; и радиус покрытия – максимальный теоретический радиус зоны покрытия БС для связи с устройствами. Данные параметры рассчитываются исходя из конфигурации БС. Далее будет представлен метод расчета. Все технические характеристики для расчета берутся из технического паспорта БС.

В БШС в большинстве случаев используются радиоволны сантиметрового диапазона. Отличительной чертой распространения данных радиоволн является почти полное отсутствие явления дифракции и прямолинейность распространения. Волны практически не огибают преград при распространении,

поэтому существенное влияние оказывают рельеф местности, преграды и погодные условия.

Для расчета дальности действия связи используют модели распространения радиосигнала [43, 44, 45, 46]. Существуют различные модели, которые можно объединить в три основные категории [47]:

- теоретические модели. Данные модели обычно основана на физическом предположении об идеальных условиях;
- эмпирические модели. Это наборы уравнений, разработанные на основе различных данных полевых измерений. Одним из основных недостатков таких моделей является то, что они не могут использоваться для различных ситуаций без изменений, поскольку они точны только для случая с теми же характеристиками, в которых проводились измерения;
- детерминированные модели. Модели очень сложны, поскольку они требуют детального знания местоположения, размеров и физических параметров всех препятствий в данной области. Такое детальное исследование может приводить к чрезмерным накладным расходам, которые в большинстве случаев могут быть лишними.

### 1.3.1 Энергетический потенциал канала связи

Для оценки производительности канала связи используется уравнение энергетического потенциала, который учитывает все усиления и потери уровня сигнала при его распространении от передатчика к приемнику через беспроводную среду передачи, кабели, разъемы, различные препятствия (Рисунок 1.6) [10].

В определении энергетического потенциала беспроводной линии связи участвуют следующие параметры:

- эффективная изотропно-излучаемая мощность передатчика (Equivalent Isotropically Radiated Power, EIRP), являющаяся суммой выходной мощности передатчика и коэффициента усиления антенны за вычетом потерь в антенном кабеле разъемах передающего тракта;
- потери при распространении в свободном пространстве;

- чувствительность приемника, потери в антенном кабеле и коэффициент усиления антенны приемника.

Полное уравнение можно записать следующим образом:

$$P_{tr} - L_{tr} + G_{tr} - L_{fs} + G_{recv} - L_{recv} = SOM + P_{recv}, \quad (1.1)$$

где:

- $P_{tr}$  – мощность передатчика, дБм;
- $L_{tr}$  – потери сигнала на антенном кабеле и разъемах передающего тракта, дБ;
- $G_{tr}$  – усиление антенны передатчика, дБ;
- $L_{fs}$  – потери в свободном пространстве, дБ;
- $G_{recv}$  – усиление антенны приемника, дБ;
- $L_{recv}$  – потери сигнала на антенном кабеле и разъемах приемного тракта, дБ;
- $P_{recv}$  – чувствительность приемника, дБм;
- $SOM$  – запас на замирание сигнала, дБ.

Энергетический потенциал указывает на качество канала передачи радиосигналов.

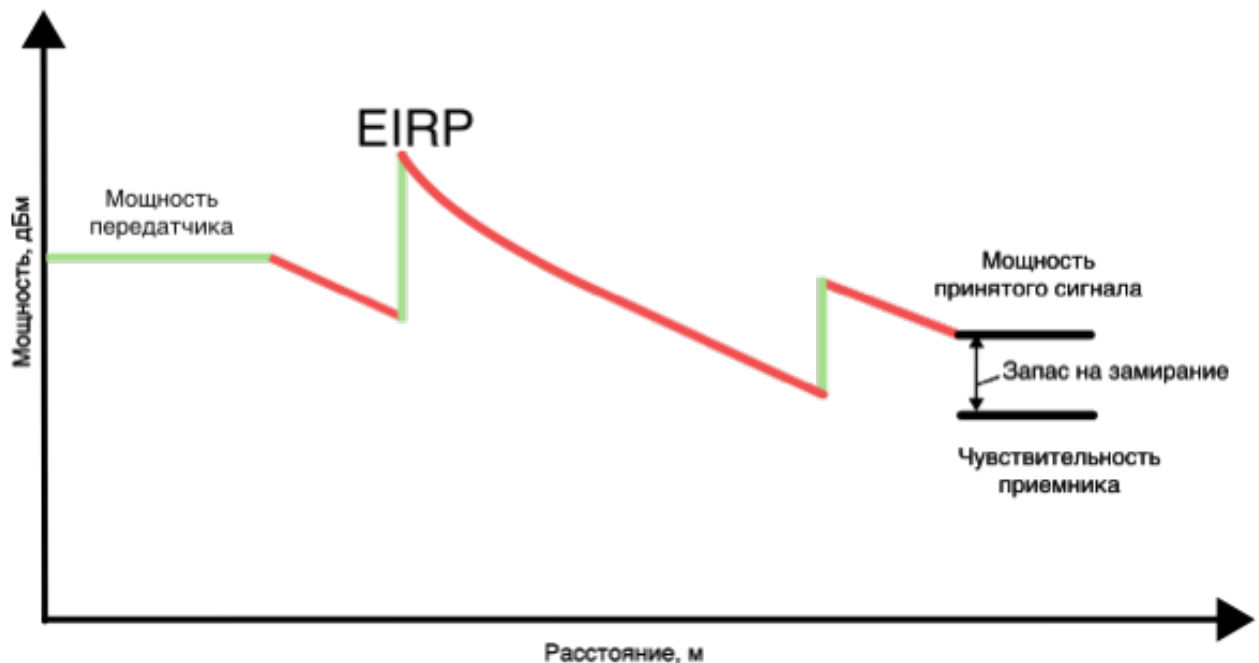


Рисунок 1.6 — Энергетический потенциал линии связи.

На стороне передатчика выходной мощностью является величина, равная мощности, подводимой к антенне. Данная величина из паспортной доку-



ментации устройства имеет различные значения в зависимости от каждого поддерживаемого оборудованием стандарта и конкретных скоростей. В реальной условиях значения мощностей, как правило могут незначительно отклоняться от паспортных значений. **Предельная мощность передатчика определяется государственными органами. Для примера, для БШС семейства протоколов IEEE 802.11 не превышает 100 мВт или, выражая в децибеллах, не более 20 дБм [48].**

Затухание сигнала могут происходить в кабелях антенны, зависящие от типа кабеля и рабочей частоты. При подключении антенны желательно обходиться минимальной длиной кабеля. Потери сигнала в антенном кабеле принимают 0,1...2 дБ/м. В технической документации в потерях кабеля также учтена величина затухания в кабельных разъемах.

Усиление антенны описывает фокусирование переданного или полученного сигнала. Значения даны относительно полуволнового диполя или теоретического изотропного излучателя [8].

К потерям при распространении относятся все виды затухания сигнала, которые имеют место при его распространении от антенны передатчика к антенне приемника. Самая простая оценка потерь в свободном пространстве получается, если предположить, что сигналы передаются во всех направлениях, то есть мощность излучается одинаково во всех направлениях, и в зоне передачи или вокруг нее нет препятствий, которые могли бы повлиять на распространение электромагнитных сигналов [49].

Существуют большое количество моделей распространения. Каждая имеет свои плюсы и минусы. В зависимости от конкретных задач при проектировании возможно использовать наиболее подходящую. Ниже будут представлены модели распространения, широко используемые для сетей БШС на открытой местности.

### 1.3.2 Модель потерь в свободном пространстве

При распространении сигнала от передатчика к приемнику часть сигнала рассеивается, по этой причине мощность на приемной стороне будет уменьшаться с увеличением расстояния от передающей антенны. Данное затухание

сигнала называют потерями в свободном пространстве (Free Space Path Loss, *FSPL*).

Потери при распространении между двумя неизотропными антеннами в свободном пространстве (в воздухе) можно выразить из уравнения Фрииса (1.2):

Мощность принимаемой антенны рассчитывается из уравнения передачи Фрииса:

$$\frac{P_{recv}}{P_{tr}} = G_{tr} G_{recv} \left( \frac{c}{4\pi R f} \right)^2, \quad (1.2)$$

где  $c$  – скорость света,  $f$  – частота,  $R$  расстояние между приемной и передающей антенной.

$$L_{fs} = 20 \lg F + 20 \lg R - G_{tr} - G_{recv} + K, \quad (1.3)$$

где  $F$  – центральная частота, на котором работает канал связи,  $R$  – расстояние между приемной и передающей антенной и  $K$  – константа.

Константа  $K$  зависит от размерностей частоты и расстояния:

- для частоты, выраженной в ГГц, и расстояния, выраженная в км, константа  $K$  равна 92.45;
- для частоты, выраженной в МГц, и расстояния, выраженная в км, константа  $K$  равна 32.4;
- для частоты, выраженной в МГц, и расстояния, выраженная в м, константа  $K$  равна -27.55.

Потери  $L_{fs}$  выразим из уравнения энергетического потенциала канала связи (1.1) как:

$$L_{fs} = P_{tr} - L_{tr} + G_{tr} + G_{recv} - L_{recv} - P_{recv} - SOM. \quad (1.4)$$

Запас на замирание сигнала,  $SOM$ , учитывает все возможные факторы отрицательно влияющие на дальность связи. К таким факторам относятся:

- температурный дрейф чувствительности приемника и выходной мощности передатчика;
- влияние погодных условий на передачу сигнала: туман, снег, дождь;
- потери в антенно-фидерном тракте, возникающие из-за рассогласования фидера и антенны.

Приемник испытывает совокупное воздействие всех этих физических факторов, которые различаются в зависимости от положения приемника и передатчика в среде распространения.

Минимальная значения величины запаса на замирание (System Operating Margin, *SOM*) должна быть не меньше 10 дБ. Считается, что 10-ти децибельный запас по усилению достаточен для инженерного расчета, но на практике зачастую используют значение 20...30 дБ [10].

Максимально возможную дальность связи между приемником и передатчиком выводится из уравнений (1.3) и (1.4):

$$R = 10^{\frac{L_{fs} - 20 \lg F + G_{tr} + G_{recv} - K}{20}}. \quad (1.5)$$

### 1.3.3 Модель распространения SUI

Модель распространения SUI (Stanford University Intern) предложена рабочей группой, занимающаяся исследованием беспроводной широкополосной сети IEEE 802.16 [50]. Модель включена в стандарты IEEE и широко используется в WiMax, а также в LTE [51]. Подходит для использования в сельской местности с различным типом рельефа, а также в небольших населенных пунктах. Модель испытана на равнинах, пересеченной, холмистой местности и лесных массивах. SUI модель используется для диапазона частот 1900 МГц – 11 ГГц [52]. Высоты антенн БС в диапазоне от 10 до 80 м, высота антенны мобильного устройства — от 2 до 10 м, расстояние между БС и устройством от 0,1 до 8 км.

Грубая оценка потери сигнал описывается с помощью модели SUI как

$$L_0 = A + 10\gamma \lg(R/R_0), \quad (1.6)$$

$$A = 20 \lg\left(\frac{4\pi R_0}{\lambda}\right)$$

и

$$\gamma = a - bh_t + \frac{c}{h_t},$$

где  $R$  – дальность связи,  $R_0$  – минимальная разрешенная дальность (100 м),  $\lambda = c/f$  – длина волны,  $f$  – частота в МГц,  $h_t$  – высота антенны БС. Параметры  $a$ ,  $b$  и  $c$ , определяющие следующие типы местности (Таблица 1):

- тип А – холмистая местность или густые лесные массивы;
- тип В – пересеченная местность или полугустые лесные массивы;
- тип С – открытые поля.

Таблица 1 — Численные значения параметров модели SUI.

Параметры модели	Местность А	Местность В	Местность С
a	4,6	4	3.6
b	0,0075	0,0065	0.005
c	12,6	17,1	20

Формула (1.6) была получена эмпирически для несущей частоты 2 ГГц и высоты приемника 2 м. Для использования модели с другими частотами и высотами необходимо добавить поправочные коэффициенты

$$L_{fs} = L_0 + \Delta L_f + \Delta L_h + s, \quad (1.7)$$

где  $\Delta L_f$  – корректирующий коэффициент для частот свыше 2 ГГц  $\Delta L_h$  – корректирующий фактор высоты антенны устройства (м)  $s$  – корректирующий фактор теневого эффекта, имеющий значения в диапазоне  $8,2 < S < 10,6$  дБ. Параметр  $\Delta L_f$  рассчитывается

$$\Delta L_f = 6 \lg (f/2000),$$

параметр  $\Delta L_h$  выбирается исходя из выбора типа местности

$$\Delta L_h = \begin{cases} -10,8 \lg (h_r/2) & \text{для типа А и В,} \\ -20 \lg (h_r/2) & \text{для типа С,} \end{cases}$$

где  $h_r$  – высоты антенны устройства.

Из уравнений (1.3) и (1.7) можно вывести дальность действия связи:

$$R = 10^{\left(\frac{L_{fs}-L_0-\Delta L_f-\Delta L_h-s-A}{10\gamma} + \lg R_0\right)} \quad (1.8)$$

### 1.3.4 Модель двух лучевого распространения

Двух лучевая модель описывает мощность принятого сигнала как интерференцию двух копий переданного сигнала: первая – луч прямой видимости, вторая – отраженная от поверхности [53]. Два луча электромагнитных волн от передатчика приходят в приемник с определенной разностью фаз и амплитуд. Разность фаз происходит из-за дополнительного времени распространения волны, отраженного от земли [54, 55, 56, 57].

Мощность принимаемого сигнала, в соответствии с двухлучевой моделью равна

$$P_{recv} = \frac{P_{tr} \cdot G_{tr} \cdot G_{recv} \cdot h_{tr}^2 \cdot h_{recv}^2}{R^4}, \quad (1.9)$$

где  $P_{recv}$  – чувствительность приемника,  $P_{tr}$  – мощность передатчика,  $G_{tr}$  – усиление антенны передатчика,  $G_{recv}$  – усиление антенны приемника,  $h_{tr}$  – высота передатчика,  $h_{recv}$  – высота приемника,  $R$  – расстояние между приемником и передатчиком.

Потери в свободном пространстве из формулы (1.9) вычисляются как:

$$L_{fs} = 40 \lg R - 10 \lg G_{tr} - 10 \lg G_{recv} - 20 \lg h_{tr} - 20 \lg h_{recv}, \quad (1.10)$$

Тогда из формул (1.3) и (1.10) дальность рассчитывается как

$$R = 10^{\frac{L_{fs} + 10 \lg G_{tr} + 10 \lg G_{recv} + 20 \lg h_{tr} + 20 \lg h_{recv}}{40}}. \quad (1.11)$$

### 1.3.5 Модель Окамура-Хата

Модель распространения [58] сигнала используется для частотного диапазона 150 – 1500 МГц, расстояние между БС и абонентским устройством 1 – 100 метров, высота антенн БС 30–200 метров, высоты антенн абонентских устройств 1 – 10 метров, дальности телекоммуникационной связи 1–20 км.

Модель Окамура-Хата учитывает особенности территории и плотность застройки: открытая сельская местность, пригородная местность и городская местность. Для каждого случая выражается свой расчет потерь.

Городская (Urban) местность.

$$L_u = 69.55 + 26.16 \lg f_c - 13.82 \lg h_b - a(h_m) + (44.9 + 6.55 \lg h_b) \lg R, \quad (1.12)$$

$$L_{fs} = L_u, \quad (1.13)$$

где  $f_c$  – несущая частота,  $h_b$  – высота антенн БС,  $h_m$  – высота антенны абонентского устройства,  $a(h_m)$  – поправочный коэффициент.

Поправочный коэффициент  $a(h_m)$  выражается для малых и средних городов

$$a(h_m) = (1.1 \lg f_c - 0.7)h_m - (1.56 \lg f_c - 0.8) \quad (1.14)$$

и для больших городов

$$a(h_m) = \begin{cases} 8.29(\lg(1.54h_m))^2 - 1.1, & 150 \leq f_c \leq 200, \\ 3.2(\lg(11.75h_m))^2 - 4.97, & 400 \leq f_c \leq 1500. \end{cases} \quad (1.15)$$

Пригородная местность.

$$L_{fs} = L_u - 2(\lg(f_c/28))^2 - 5.4. \quad (1.16)$$

Сельская (открытая) местность.

$$L_{fs} = L_u - 4.78(\lg(f_c))^2 + 18.33 \lg(f_c) - 40.94. \quad (1.17)$$

### 1.3.6 Расчет параметров БС, необходимых для задачи оптимизации

Используя любую из представленных моделей распространения (уравнения (1.5), (1.8) или (1.11)) можно рассчитать теоретическое максимальную дальность связи  $R_{jq}$  между базовыми станциями и радиусом покрытия  $r_j$  с предположением об отсутствии препятствий, отражений, влияния контуров

местности и т. д. Это допущение приемлемо для нашего случая с открытой местностью.

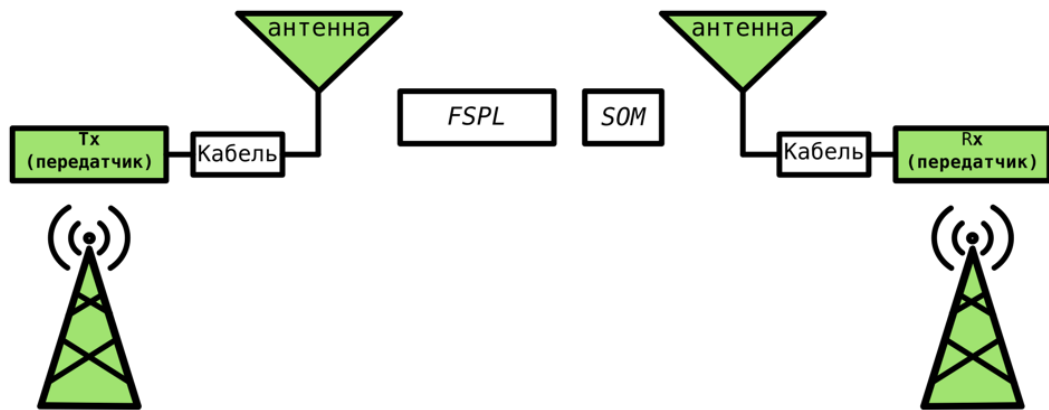


Рисунок 1.7 — Соединение между станциями.

Для расчета дальности связи  $R_{jq}$  (Рисунок 1.7), базовые станции  $s_j$  и  $s_q$  будут рассматриваться как станции *передатчик* и *приемник*, соответственно. Будем считать, что станции оборудованы направленными антеннами с усилениями  $G_{tr}^R$  и  $G_{recv}^R$ .

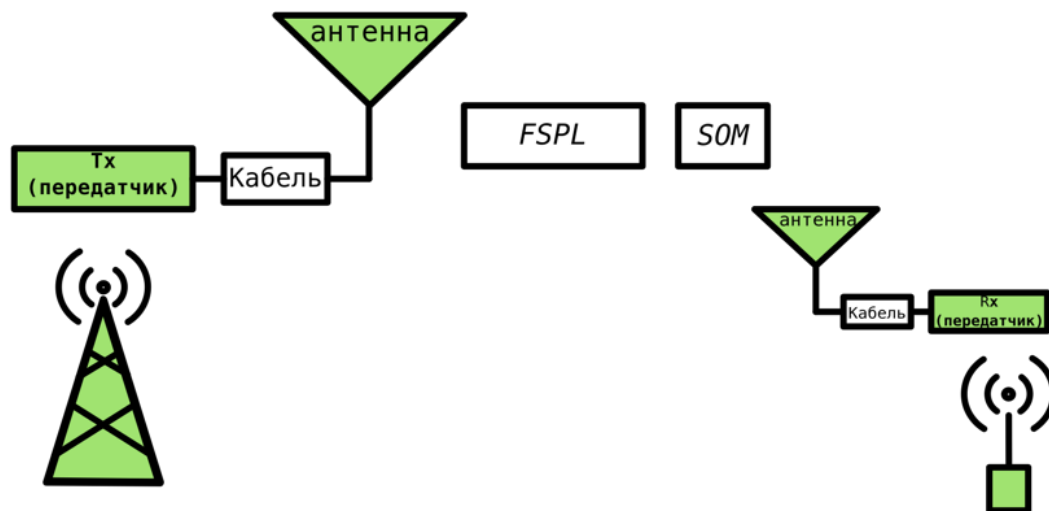


Рисунок 1.8 — Покрывание станции

Каждая базовая станция оснащена всенаправленной антенной с заданным усилением антенны  $G_{tr}^r$ . Данная антенна необходимо для покрытия заданной области.

При вычислении радиуса покрытия  $r_j$  (Рисунок 1.8) базовая станция будем считать *передатчиком*, а пользовательское устройство *приемником*.

## 1.4 Оценка характеристик производительности сети с помощью стохастических моделей массового обслуживания

В данной работе рассматривается задача области телекоммуникационного покрытия при проектировании БШС. С увеличением дальности телекоммуникационного покрытия сети ухудшается качества передачи: уменьшается мощность передаваемого сигнала, и в свою очередь падает пропускная способность. В связи с этим одной из важнейших задач при проектировании является оценки характеристик производительности будущей сети. Одной из такой характеристикой является время межонцевой задержки. Данная характеристика представляет собой время необходимое для передачи пакета через сеть от источника до места назначения.

### 1.4.1 Время передачи пакета в канале

#### Структура кадра Wi-Fi

Основой стандарта 802.11 является распределенная функция координации DCF (Distributed coordination function). Согласно данному механизму, станция, желающая передать пакет данных, слушает шумы в передающей среде в течение заранее определённого периода времени. Если передающая среда свободна, станция может передавать пакеты. В противном случае станция ждет определенное количество времени, прежде чем опять предпринять попытку отправки пакета.

Время передачи пакета в беспроводной среде, главным образом зависит от коллизии. Протокол 802.11 борется с данной проблемой с помощью метода множественного доступа к среде с прослушиванием среды и избеганием коллизий (CSMA/CA, Carrier-sense multiple access with collision avoidance), когда станции выполняют процедуру отсрочки (backoff procedure) передачи для всех узлов, которые ожидают передачи. Для решений проблемы "скрытой станции" стандарт поддерживает механизм RTS/CTS (Рисунок 1.9).



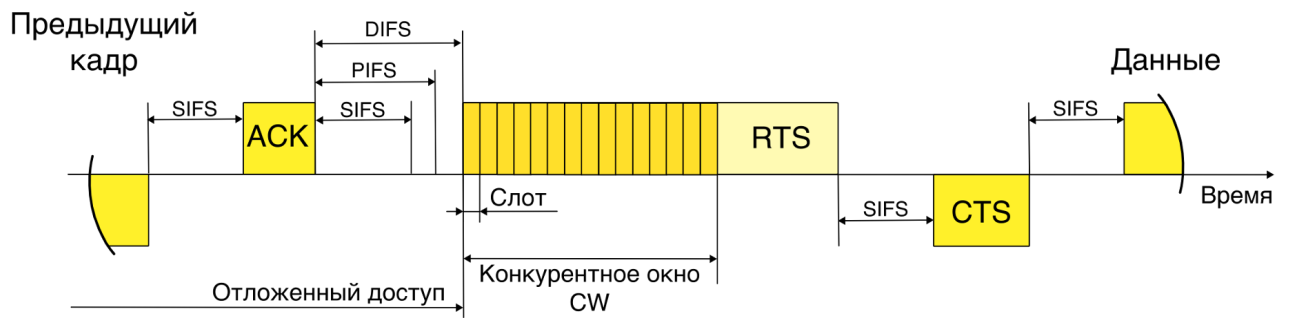


Рисунок 1.9 — Процедура Backoff

На MAC-подуровне для определения состояния среды передачи существуют межкадровые интервалы (Inter Frame Space, IFS) – периоды ожидания между передачей кадров. В стандарте определено несколько типов межкадровых интервалов:

- уменьшенный межкадровый интервал (Reduced IFS, RIFS), используется в некоторых случаях, когда необходимо уменьшить накладные расходы при передаче;
- короткий межкадровый интервал (Short IFS, SIFS), необходим беспроводному устройству для обработки принятого кадра и ответом об его получении;
- межкадровый интервал функции (PCF IFS, PIFS);
- межкадровый интервал функции (DCF IFS, DIFS);
- арбитражный межкадровый интервал (Arbitration IFS, AIFS), используется устройствами для получения доступа к среде с помощью метода EDCA, поддерживающими QoS (Quality Of Service);
- расширенный межкадровый интервал (Extended IFS, EIFS), является самым длинным интервалом, используется устройством в случае, если кадр пришел с ошибкой.

В течение времени равному интервалу DIFS, станция, желающее передать кадр должна определить состояние среды. По истечению времени DIFS, если среда свободна, начинается процедура отсрочки. Станция начинает период молчания случайной длины, равномерно распределенного в интервале  $[0, CW]$ , где  $CW$  – это окно конкуренции (Contention Window) равное целому числу из интервала  $CW_{min} \ll CW \ll CW_{max}$ . Далее в соответствии с алгоритмом RTS/CTS каждый узел сети, перед тем как послать данные в «эфир», сначала отправляет специальное короткое сообщение, которое называется RTS (Ready To Send). Это говорит о готовности узла к отправке данных. Такое RTS-сооб-

щение, содержащее информацию о продолжительности предстоящей передачи и об адресате, доступно всем узлам в сети, если только они не скрыты от отправителя. Это позволяет другим узлам задержать передачу на время, равное объявленной длительности сообщения NAV (Network Allocation Vector). Приемная станция, получив сигнал RTS, отвечает посылкой сигнала CTS (Clear To Send), свидетельствующего о готовности станции к приему информации через интервал SIFS. После успешном получении кадра CTS передающая станция выжидает время SIFS и посылает пакет данных. По завершению приемная станция должна послать передатчику кадр ACK, подтверждающий безошибочный прием. Если подтверждение нет, передатчик делает вывод об ошибке [29]. В таком случае отправитель удваивает период молчания и повторяет передачу кадра, продолжая экспоненциально увеличивать длину паузы. Увеличение  $CW$  происходит, пока кадр успешно не будет передан или не будет достигнуто максимальное число повторов.

В 802.11e добавили функцию гибридной координации HCF, основанная на DCF и PCF. В стандарте появился расширенный распределенный доступ к каналу (Enhanced distributed channel access, EDCA). Метод обеспечивает доступ к среде, используя 8 уровней приоритетов пользователей (user priority, IP) и 4 категории доступа (access categories, AC): background (AK\_BK), best effort (AK\_BE), video (AK\_VI), voice (AK\_VO). На беспроводном устройстве, реализующем QoS, поддерживается четыре независимые очереди (Рисунок 1.10). Вместо одного таймера DIFS назначаются различные таймеры AIFS и продолжительность  $CW$  для каждой категории AC. Когда станция в сети желает начать передачи, она ждет, пока NAV уменьшится до 0. После, в случае, если канал свободен, станция ждет время AIFS и сразу отсчитывает  $CW$  до завершения.

Функция HCF обеспечивает возможность передавать станции сразу последовательность кадров. Когда станция получает доступ к среде передачи, ей выделяется определенный период времени TXOP (transmission opportunity). Интервал TXOP – это время, в течение которого станция может отправлять кадры после того как получит доступ к среде передачи. TXOP необходим для того, чтобы увеличить пропускную способность высокоприоритетных данных, таких как видео и голос.

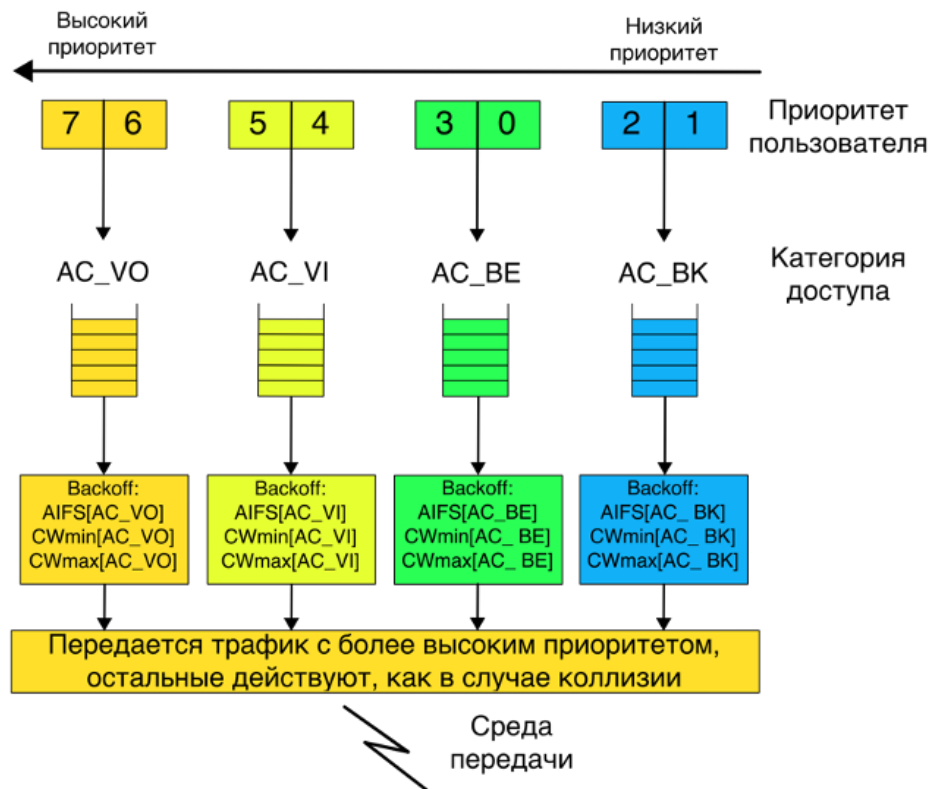


Рисунок 1.10 — Очереди с поддержкой QoS

## LTE

При формировании информационного ресурса в стандарте LTE используются два метода. Первый метод – мультиплексирование с ортогональным частотным разнесением (Orthogonal Frequency Division Multiplexing, OFDM), используется для нисходящего канала DL от базовой станции к абонентскому устройству. Второй метод – мультиплексирование с частотным разнесением с передачей на одной несущей (Single-Carrier Frequency Division Multiple Access, SC-FDMA), используется для восходящего канала UL от абонентского устройства к базовой станции.

Стандарт LTE на физическом уровне использует технологию Orthogonal Frequency Division Multiplexing (OFDM), решающая проблему межсимвольной интерференции при высокоскоростной передаче с многолучевым распространением сигнала. Технология OFDM предполагает передачу широкополосного сигнала посредством независимой модуляции узкополосных поднесущих. Один OFDM символ содержит набор модулированных поднесущих. Во временной области OFDM-символ включает поле данных и циклический префикс, повторно передаваемый в конце предыдущего символа. Данный префикс необходим для

борьбы с межсимвольной интерференции в приемнике, вследствие многолучевого распространения сигнала. Отраженный сигнал, приходящий с задержкой, попадает в зону префикса и не накладывается на полезный сигнал. В LTE принят шаг между поднесущими  $\Delta f = 15$  кГц, что соответствует длительности OFDM-символа 66,7 мкс [59].

Для формирования группового сигнала восходящих каналов в сетях LTE используется схема мультиплексирования с частотным разнесением с передачей на одной несущей SC-FDMA. Эта схема может работать в системах, функционирующих как в режиме с временным дуплексированием, так и в режиме с частотным дуплексированием.

Существующий каналный ресурс состоит из ресурсных блоков, каждый из которых включает 12 последовательных поднесущих в частотной области, занимающих полосу 180 кГц, и одного интервала 0,5 мс во временной области. Таким образом, каждый блок ресурсов состоит из  $7 \cdot 12 = 84$  ресурсных элементов в случае обычного циклического префикса и  $6 \cdot 12 = 72$  ресурсных элементов в случае расширенного циклического префикса [59].

Стандарт поддерживает две структуры кадров: частотный дуплекс (Frequency Division Duplex, FDD) и временной дуплекс (Time Division Duplex, TDD). Практически вся обработка на физическом уровне идентична для FDD и TDD, разница между ними в основном заключается в структуре кадров, как показано на рисунке 1.11. Передача по радиоканалу осуществляется кадрами длиной  $T_{\text{кадр}} = 10$  мс. Все временные параметры в спецификации LTE привязаны к минимальному временному кванту  $T_s = 1/(2048 \cdot \Delta f)$ , где  $\Delta f$  — шаг между поднесущими.

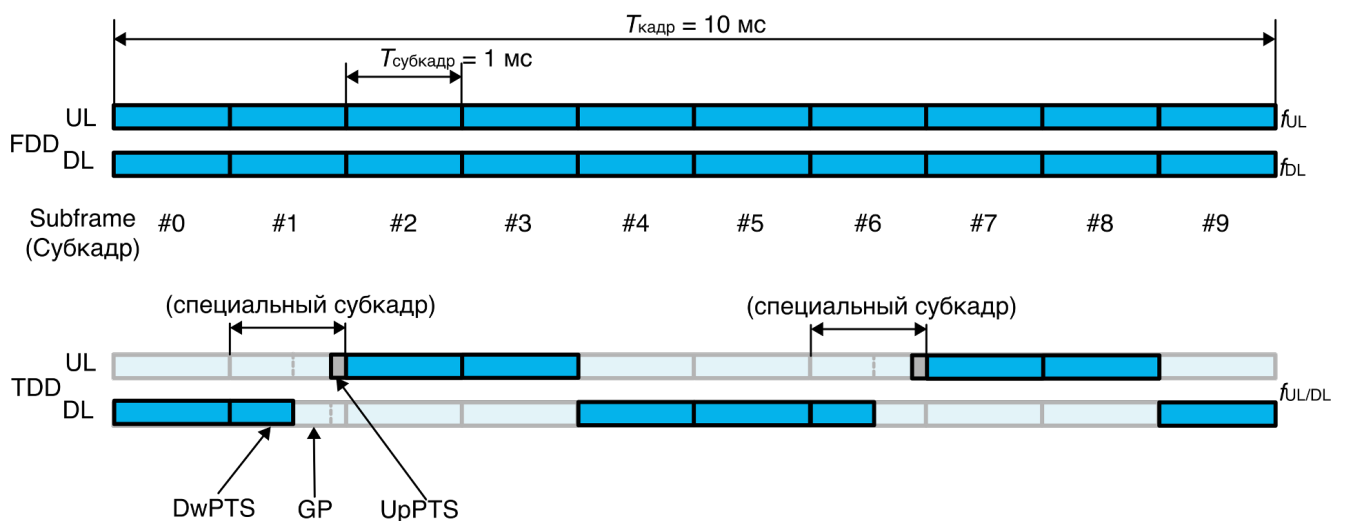


Рисунок 1.11 — Структура кадра LTE

В случае работы FDD имеются две несущие частоты: для передачи по восходящей линии связи ( $f_{UL}$ ) и для передачи по нисходящей линии связи ( $f_{DL}$ ). Каждый кадр состоит из 10 субкадров восходящей линии связи и 10 субкадров нисходящей линии связи [60]. Передача по восходящей и нисходящей линиям связи может происходить одновременно в пределах одной соты. Каждый субкадр состоит из двух смежных слотов длительностью 0,5 мс. При полнодуплексном режиме радиоканалы в восходящем и нисходящем каналах передаются параллельно, но с оговоренным в стандарте сдвигом [34].

В случае работы TDD имеется только одна несущая частота. Передачи по восходящей и нисходящей линиям связи всегда разделены во времени [60]. Для обеспечения асимметрии трафика восходящего и нисходящего каналов, в TDD поддерживаются 7 различных конфигураций, соответствующих разным соотношениям восходящего и нисходящего каналов (таблица 2). Буква «D» соответствует субкадру нисходящей линии связи, «U» соответствует субкадру восходящей линии связи, а «S» соответствует специальному субкадру. Как видно из таблицы, в субкадрах 0 и 5 всегда осуществляется передача «вниз», а в субкадре, следующем за специальным, всегда осуществляется передача «вверх».

Конфигурация вверх-вниз	Периодичность вверх-вниз	Номер субкадра									
		0	1	2	3	4	5	6	7	8	9
0	5 мс	D	S	U	U	U	D	S	U	U	U
1	5 мс	D	S	U	U	D	D	S	U	U	D
2	5 мс	D	S	U	D	D	D	S	U	D	D
3	10 мс	D	S	U	U	U	D	D	D	D	D
4	10 мс	D	S	U	U	D	D	D	D	D	D
5	10 мс	D	S	U	D	D	D	D	D	D	D
6	5 мс	D	S	U	U	U	D	S	U	U	D

Таблица 2 — Конфигурации кадра в LTE при временном дуплексе (TDD)

Важной частью любой системы TDD является обеспечение достаточно больших защитных периодов, в течение которых оборудование может переключаться между передачей и приемом без перекрытия передаваемых и принимаемых сигналов. В LTE защитные периоды создаются путем разделения одного или двух субкадров, называемых специальными субкадрами. Информация в специальных субкадрах разделена на три поля: часть нисходящего канала

(Downlink Pilot Time Slot, DwPTS), защитный период (Guard Period, GP) и часть восходящего канала (– Uplink Pilot Time Slot, UpPTS).

## 5G NR

В сетях 5G NR передача данных в восходящем UL и нисходящем DL направлениях организуется на основе кадров (frame) длительностью  $T_f = 10$  мс. Каждый кадр делится на 10 субкадров (subframe) длительностью  $T_{sf} = 1$  мс. Каждый субкадр содержит  $2^\mu$  слотов. [61, 62].

Одной из ключевых особенностей 5G, открывающая многие преимущества, является тот факт, что расстояние между поднесущими может принимать различные значения, в отличие от LTE, где значение фиксировано и равно 15 кГц. В зависимости от  $\mu$  (таблица 3) в сетях 5G-NR используются OFDM поднесущие с различной шириной спектра: 15кГц, 30кГц, 60кГц, 120кГц и 240кГц. Количество слотов определяется шириной спектра поднесущей и составляет 1, 2, 4, 8 или 16 слотов, в отличие от сетей LTE, где используется единая структура с двумя слотами на каждый субкадр.

$\mu$	Интервалы поднесущих, $\Delta f$ , кГц	Циклический префикс	Количество слотов
0	15	Обычный	1
1	30	Обычный	2
2	60	Обычный, Расширенный	4
3	120	Обычный	8
4	240	Обычный	16

Таблица 3 — Интервалы поднесущих

Использование различных частот открывает широкие возможности для гибкой настройки сети при предоставлении тех или иных услуг. Так для приложений критичных к уровню задержек, целесообразно использовать поднесущие с широким спектром при меньшей длительности символа, и наоборот, при передаче трафика широкополосного доступа в интернет и низкоскоростного

трафика интернета вещей – использовать узкий спектр поднесущих. Уплотнение развертывания за счет уменьшения размерами сот и использование высоких частот с большей пропускной способностью может привести к уменьшению задержки радиointерфейса.

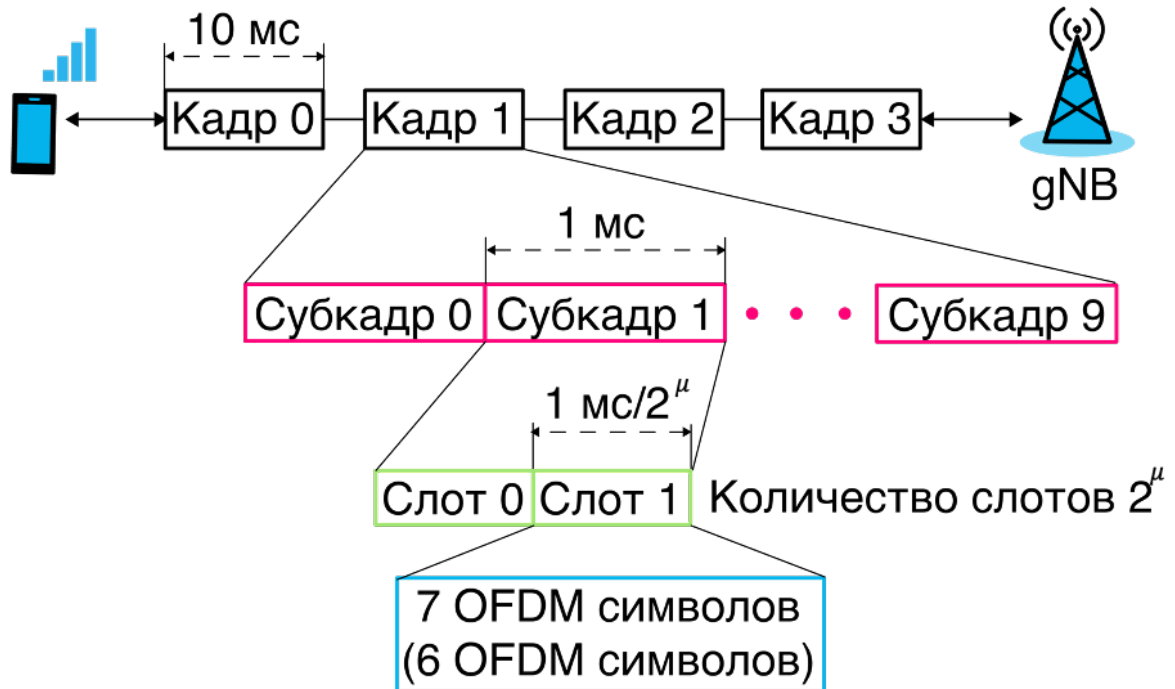


Рисунок 1.12 — Структура кадра 5G NR

#### 1.4.2 Расчет времени межконцевой задержки

Как уже было отмечено ранее, любая сеть обязана гарантировать качество обслуживания QoS. При проектировании БШС важно оценить характеристики производительности будущей сети. Одной из таких характеристик сети является межконцевая (сквозная) задержка [16, 18, 63, 64, 65, 66, 67, 68, 69, 70, 15, 71], характеризующее максимальное время передачи пакетов в сети от источника до места назначения.

Для расчета сквозной задержки сети часто используют стохастические модели массового обслуживания [16, 18, 63, 69, 15, 71]. В классическом случае обслуживания в узлах сети и время между поступлениями заявок задаются экспоненциальной функцией распределения [72, 73].

Существуют более сложные модели очередей для оценок характеристик с более сложными видами распределения входящего трафика и времени обслуживания. Адекватные оценки дают модели с коррелированными входным потоком [74, 75, 16, 15]. Для аппроксимации времени обслуживания в беспроводных каналах используют фазовые распределения [75, 16, 15, 76, 77]. К сожалению, такие модели труднорешаемы и использование их в задачах оптимизации нецелесообразно в связи с большими временными затратами на расчет. Исследования таких СеМО представлены в работе [78], в которой был предложен метод калибровки моделей массового обслуживания с помощью имитационного моделирования в среде NS-3 БШС протокола IEEE 802.11n. На вход поступали пакеты, сгенерированные по экспоненциальному закону. С помощью NS-3 была получена выборка, для которой было восстановлено РН-распределения по трем моментам для случая с узлами  $M/PH/1/N$  и экспоненциальное распределение по среднему значению для случая с узлами  $M/M/1/N$ . По умолчанию в NS-3 размер буфера MAC-уровня составляет  $N = 500$  [79]. Сравнение моделей представлено на рисунке 1.13. На рисунке также представлена модель  $M/M/1$  с бесконечным буфером. Как видно из графиков СеМО с узлами  $M/M/1$  показывает достаточное приближение. Выбор модели с бесконечным буфером обусловлен тем, что производители не указывают в документации размер выделенной памяти для хранения пакетов в своем оборудовании и определение его размера является отдельной большой задачей. Из результатов сравнения видно, что  $M/M/1/N$  и  $M/M/1$  отличаются несущественно. Потери пакетов, часто происходят не из-за переполнения буфера памяти, а коллизий и потерь в беспроводном канале. Существенным преимуществом СеМО с узлами  $M/M/1$  перед другими более сложными моделями является наличие доказанного быстрого аналитического решения.

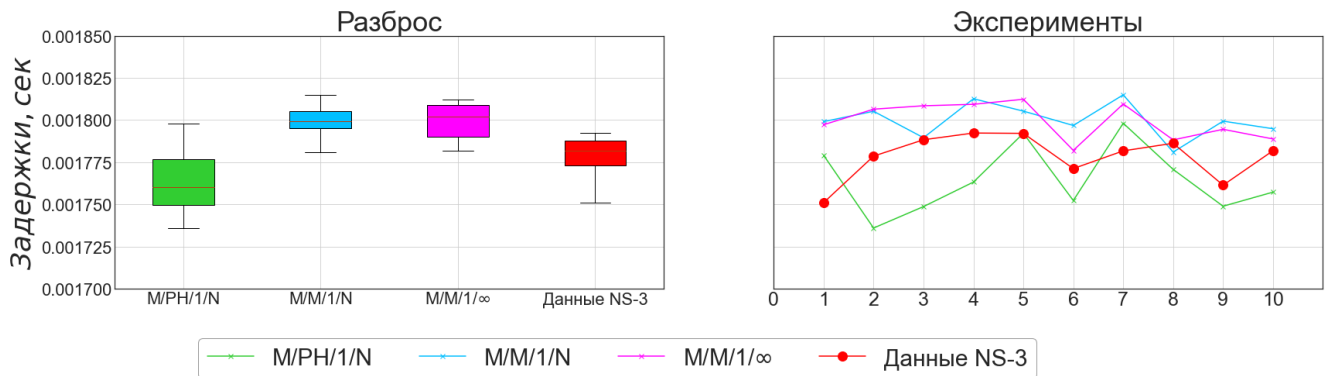


Рисунок 1.13 — Сравнение моделей массового обслуживания с данным NS-3



## Оценка времени межконцевой задержки с помощью методов машинного обучения

Расчёт характеристик производительности БШС в классическом проводится с помощью стохастических моделей массового обслуживания. БШС рассматривают как многофазную сеть массового обслуживания с узлами  $M/M/1$ , т.е. с экспоненциальным распределением времени между поступлениями входящих пакетов и времени обслуживания на всех фазах. Время обслуживания пакетов на каждой фазе разыгрывается случайным образом и независимо от обслуживания на других фазах. В работах [80, 81] была представлен случай, в котором фиксируется размер пакетов при их первом появлении и не изменяющийся в течении всего времени обслуживания в сети. На каждой фазе время обслуживания пакета характеризуется длиной пакета и битовой скоростью, приписанная данной фазе. На каждой последующей фазе время обслуживания не разыгрывается случайно, а зависит от длины уже сгенерированного входящего пакета. Такую сеть интересно рассматривать в случае БШС с топологии «точка-точка». В таких сетях потери в каналах играют несущественную роль, и время передачи в канале при невысоких коэффициентах загрузки пропорционально зависит от длины пакета. В таком случае между узлами сети появляется связь, которая нарушает допущение о независимости обслуживания на всех фазах. Данное нарушение не позволяет использовать аналитические методы.

Было предложено использовать аппроксимационные модели на данных имитационного моделирования с зависимым обслуживанием в СеМО. Аппроксимационные модели строились с помощью методов машинного обучения: деревья решений, градиентный бустинг, искусственные нейронные сети. На рисунке 1.14 представлены графики оценок межконцевых задержек на тестовой выборке от коэффициента загрузки для различных длин тандема, полученных с помощью искусственной нейронной сети с одним скрытым слоем. Зеленым цветом представлен данные аналитической модели с независимым обслуживанием, фиолетовым цветом представлены данные имитационной модели с фиксированными размерами пакетов, т.е. с зависимым обслуживанием, и пунктирными линиями представлены прогнозные значения регрессионной модели для тандемов длиной 7, 12, 15 и 18 станций.

## Искусственная нейронная сеть

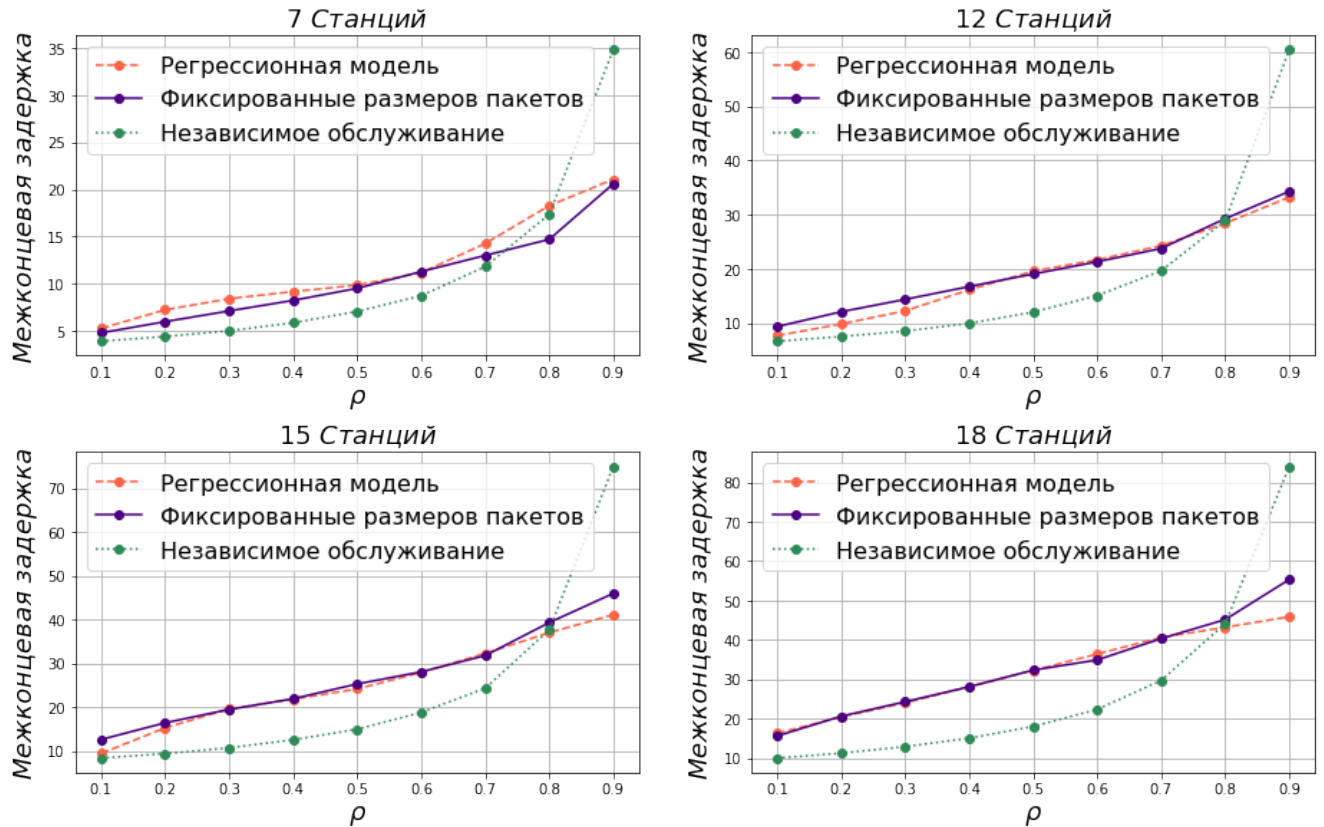


Рисунок 1.14 — Прогнозная модель времени межконцевой задержки

Анализ графиков и рассчитанные метрики по предложенным регрессионным моделям времени межконцевой задержки позволяют сделать вывод о целесообразности использования прогнозирующих моделей, построенных с помощью методов машинного обучения, для оценки характеристик сетей в практических и теоретических приложениях.

## Многофазная сеть массового обслуживания с узлами $M/M/1$

В данном исследовании было решено использовать аналитическую модель СеМО с узлами  $M/M/1$  для задачи оптимального размещения. Согласно предложенной концепции проектирования, в дальнейшем полученную БШС, после этапа синтеза топологии, можно будет проверить на более сложных моделях. Этап включает в себя математическое, имитационное моделирование для оценок характеристик производительности как время задержек, длины очередей,

пропускная способность, вероятность потери пакетов и т.к. Такой подход проектирования позволяет провести комплексную проверку соответствия QoS для полученного размещения БС.

Рассмотрим специальный случай БШС. Все БС связаны последовательно между собой в сеть, образуя линейную топологию. Для расчета межконцевой задержки представим БШС как многофазную сеть массового обслуживания (СеМО) с кросс-трафиком и узлами  $M/M/1$  (Рисунок 1.15). Кросс-трафик подразумевает поступление пакетов с некоторой заданной интенсивностью  $\lambda$  на каждую фазу СеМО. Узлами сети являются БС. Согласно символике Дж. Кендалла, обозначение  $M$  указывает на показательное распределение случайной величины [72, 73]. Каждая такая БС характеризуется случайными величинами входящего потока пакетов и временем их обслуживания, принадлежащие экспоненциальному закону распределения. Каждый узел имеет один обслуживающий прибор. Для такой СеМО принято допущение о бесконечном размере буфера, в котором пакеты ожидают своего обслуживания. Данное допущение позволяет получить аналитическое решение, которое возможно использовать для произвольного размера СеМО данной топологии.

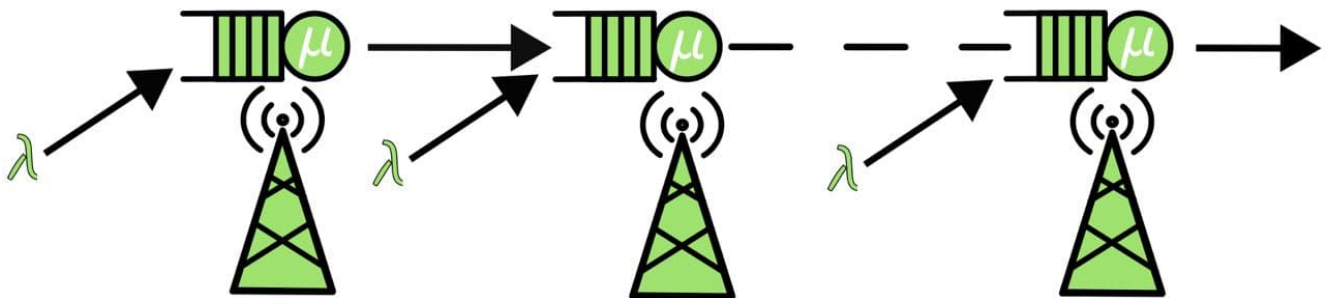


Рисунок 1.15 — СеМО с кросс-трафиком и узлами  $M/M/1$

На вход каждой станции поступает пуассоновский поток. Пуассоновский процесс представляет собой случайный процесс, характеризующийся экспоненциально распределенным временем между событиями. Это один из наиболее важных случайных процессов в теории вероятностей, который широко используется для моделирования поведения трафика и входов во многих коммуникационных сетях и системах [70, 71, 69, 68].

В пуассоновском процессе события происходят непрерывно и независимо друг от друга. Функция распределения имеет вид [72, 73]:

$$P(X < x) = \begin{cases} 1 - e^{-\lambda x}, & x \geq 0; \\ 0, & x < 0. \end{cases}$$

Для входящего потока, интервалы между поступлениями заданы случайной величиной с экспоненциальным распределением и интенсивностью  $\lambda$ . Время обслуживания на узле задано также экспоненциальным распределением и интенсивностью  $\mu$ .

По теореме Бурке [82], поток на выходе узла  $M/M/1$ , а значит на входе каждой последующей фазы тоже пуассоновский. Интенсивность на выходе каждой фазы равна суммарной интенсивности всех входящих потоков с интенсивностями  $\lambda$ .

Пропускная способность на практике часто составляет половину от заданной в спецификации оборудования [10, 83]. Интенсивность времени обслуживания рассчитывается по формуле:

$$\mu_j = 0.5 \cdot p_j / w,$$

где:  $p_j$  - пропускная способность  $j$ -ой станции, Мбит/с;  $w$  - средний размер пакета, Мбит.

Для каждой станции коэффициент загрузки равен:

$$\rho_j = \frac{\sum \lambda}{\mu_j} = \frac{q \cdot \lambda}{\mu_j} < 1,$$

где  $q$  - число входящих потоков. Условие  $\rho_j < 1$  является необходимым и достаточным условием существования стационарного режима функционирования СеМО.

Далее по формуле Литтла [84] можно рассчитать время задержки на каждой станции:

$$\overline{T_j} = \frac{\rho_j}{1 - \rho_j} \cdot \frac{1}{q \cdot \lambda}.$$

Тогда межконцевая задержки в сети равна

$$\overline{T} = \sum \overline{T_j}. \quad (1.18)$$

## 1.5 Выводы по главе 1

В главе представлены следующие результаты исследования:

1. Обоснована актуальность внедрения БШС в рамках глобальной цифровой трансформации. Представлена актуальность внедрения современных БШС в рамках интеллектуальных транспортных систем: VANET сети, железные дороги, линии метрополитена и в рамках «Индустрия 4.0» нефтегазового сектора.
2. Представлено комплексное проектирование БШС и место в нем задачи синтеза топологий.
3. Проведен анализ современных беспроводных широкополосных технологий, широко использующихся при проектировании БШС вдоль протяженных участков автомобильных и железных дорог, линий метрополитена и магистральных трубопроводов.
4. Проведен обзор моделей для расчета дальности телекоммуникационной связи. Представлены модели затухания сигнала в свободном пространстве, используемые для развертывания сетей в открытой местности: сети семейства протоколов IEEE 802.11, LTE и 5G.
5. Был проведен анализ канала данных современных БШС для оценки времени передачи пакетов.
6. Оценка задержек в каналах БШС проводится с использованием стохастических моделей массового обслуживания. Проведен анализ моделей очередей, широко используемых для оценки производительности сетей телекоммуникации. Для оценки времени задержки в сети в ходе поиска оптимального размещения была выбрана аналитическая модель СеМО с пуассоновским входным потоком и экспоненциальным временем обслуживания на фазах.

Результаты исследования, представленные в этой главе, были опубликованы в работах [78, 80, 81].

## Глава 4. Программный комплекс и численные примеры решения задач представленных математических моделей

В данной главе представлены описание и структура программно-вычислительного комплекса, предназначенного для расчета задачи оптимального размещения базовых станций.

### 4.1 Программный комплекс расчета задачи размещения БС

Программный комплекс представляет собой реализацию на языке Python алгоритма типа ветвей и границ комбинаторной задачи оптимизации поиска максимального телекоммуникационного покрытия при размещении базовых станций. Код программы представлен в [https://github.com/m0000Amir/BST\\_BS\\_types\\_set](https://github.com/m0000Amir/BST_BS_types_set).

Структура программно-вычислительного комплекса представлена на рисунке 4.3. На вход подается JSON-file, содержащий параметры конфигурации и входные данные задачи.

Параметры конфигурации расположены под ключом **configuration** (Рисунок 4.1):

- **method** – метод решения задачи размещения. Значение *bab* – метод ветвей и границ или *bf* – метод полного перебора;
- **estimation\_method** – метод расчета оценки недопокрытия справа. Значение *LP* – решение с помощью симплекс-метода, значение *ILP* – решение с помощью задачи целочисленного линейного программирования или значение *knapsack* – решение с помощью задачи «О ранце»;
- **placed\_all\_station** – частный случай задачи размещения, когда отсутствуют ограничения на стоимость и времени задержки, в такой постановке размещается все множество станций. Принимает значения *True* или *False*;
- **drawing** – отрисовка полученного дерева решения. Принимает значения *True* или *False*;

- **last\_optimal\_noncoverage** – полученное оптимальное недопокрытие на последнем решении для задачи поиска последовательности лучших решений. Принимает любые положительные действительные значения;
- **relation\_deviation** – заданное отклонение в процентах от полученного оптимального решения для задачи поиска последовательности лучших решений.

```
"configuration": {
  "method": "bab",
  "estimation_method": "knapsack",
  "place_all_station": false,
  "drawing": false,
  "last_optimal_noncoverage": 0,
  "relative_deviation": null
},
```

Рисунок 4.1 — Параметры конфигурации

Файл JSON содержит входные данные задачи оптимизации:

- координаты размещения **placement** и координаты размещения шлюзов **gateway\_placement**;
- параметры антенн шлюзов **gateway** и абонентских устройств **user\_device**;
- ограничения задачи на стоимость **cost\_limit** и время задержки **delay\_limit**;
- параметры для расчета дальности телекоммуникационного покрытия: несущая частота **frequency**, запас на замирания сигнала **link\_som** и **coverage\_som**;
- параметры для расчета задержек: средний размер пакетов **average\_packet\_size** и интенсивность входящего потока **arrival\_rate**;
- **sta** – множество заданных базовых станций.

Каждый элемент массива **sta** (Рисунок 4.2) представляет собой JSON-объект и содержит следующие параметры:

- **P<sub>tr</sub>\_link** – мощность антенны, обеспечивающей телекоммуникационную связь между станциями;
- **G<sub>tr</sub>\_link** – усиления антенны, обеспечивающей телекоммуникационную связь между станциями;

```

"sta": [
  {
    "Ptr_link": 19,
    "Gtr_link": 2,
    "Precv_link": -77,
    "L_link": 1,
    "L_coverage": 1,
    "Precv_coverage": -67,
    "Grecv_coverage": 5,
    "cost": 4600,
    "throughput": 72.2
  }
]

```

Рисунок 4.2 — Параметры БС

- **Precv\_link** – чувствительность антенны, обеспечивающей телекоммуникационную связь между станциями;
- **L\_link** – потери сигнала в кабеле и разъемах передающего тракта антенны, обеспечивающей телекоммуникационную связь между станциями;
- **L\_coverage** – потери сигнала в кабеле и разъемах передающего тракта антенны, обеспечивающей телекоммуникационное покрытие БС;
- **Precv\_coverage** – чувствительность антенны, обеспечивающей телекоммуникационное покрытие БС;
- **Grecv\_coverage** – усиления антенны, обеспечивающей телекоммуникационное покрытие БС;
- **cost** – стоимость БС;
- **throughput** – пропускная способность БС.

Перед тем как приступить к задаче размещения, необходимо подготовить параметры для каждой станции: радиус связи между станциями и радиус покрытия БС. Параметры рассчитываются в блоке расчета дальности телекоммуникационной связи с помощью уравнения энергетического потенциала линии связи и модели распространения сигнала. Модели распространения представлены в главе 1.



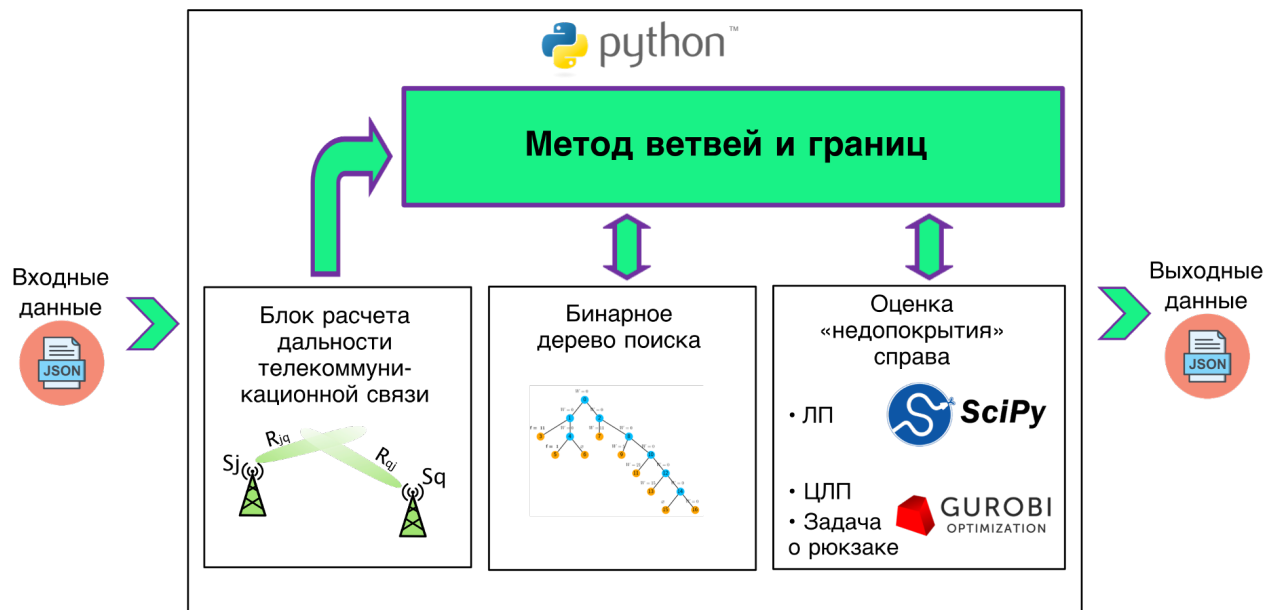


Рисунок 4.3 — Структура программно-вычислительного комплекса

Задача размещения базовых станций представлена в виде комбинаторной модели в экстремальной форме. Алгоритм поиска оптимального размещения относится к типу ветвей и границ.

Для поиска оптимального размещения используется процедура построения бинарного дерева поиска. На каждом шаге проверяется условия на возможность закрытие узла дерева. Построение бинарного дерева поиска реализовано рекуррентным способом.

Блок расчета оценки недопокрытия справа представляет собой решение задачи оптимизации. Блок содержит три варианта расчета оценки. Задача 2 представляет собой задачу ЦЛП, задача 3 является задачей «О ранце». Задача 4 представляет собой задачу ЛП. Задача ЦЛП и задача «О ранце» рассчитывается в коммерческом продукте расчета задач дискретной оптимизации Gurobi Optimizer [85]. Задача ЛП решается с использованием библиотеки для языка программирования Python с открытым исходным кодом SciPy [86].

В ходе движения по дереву поиска записываются все полученные рекорды **Optimal** (Рисунок 4.4). Также записываются стоимость размещения **Cost**, время межконцевой задержки **Delay** и номер узла дерева **Node**, на котором был получен рекорд. Для каждого рекорда записывается множество размещенных станций. Последний полученный рекорд является оптимальным решением задачи. Решение задачи записывается в выходной JSON-файл.

```

Optimal = 84.0, Cost = 11900, Delay = 0.00107, Node = 7
['S1', 'S2', 'S4', '-', '-', '-']
Optimal = 73.0, Cost = 11900, Delay = 0.00107, Node = 25
['S1', 'S2', '-', 'S4', '-', '-']
Optimal = 65.0, Cost = 12000, Delay = 0.00107, Node = 61
['S1', 'S3', '-', 'S5', '-', '-']
Optimal = 60.0, Cost = 11900, Delay = 0.00107, Node = 91
['S1', 'S4', '-', 'S2', '-', '-']
Optimal = 56.0, Cost = 12000, Delay = 0.00107, Node = 127
['S1', 'S5', '-', 'S3', '-', '-']
Optimal = 17.0, Cost = 11900, Delay = 0.00107, Node = 161
['S1', '-', 'S2', '-', 'S4', '-']
Optimal = 9.0, Cost = 11900, Delay = 0.00107, Node = 171
['S1', '-', 'S2', '-', '-', 'S4']
Optimal = 4.0, Cost = 12000, Delay = 0.00107, Node = 193
['S1', '-', 'S3', '-', '-', 'S5']
Optimal = 0.0, Cost = 12000, Delay = 0.00107, Node = 213
['S1', '-', 'S5', '-', '-', 'S3']
Total number of nodes is 298

```

Рисунок 4.4 — Пример полученного решения задачи

## 4.2 Численный пример оптимального размещения базовых станций сети с линейной топологией в виде задачи целочисленного линейного программирования

Рассмотрим пример задачи оптимального размещения БС вдоль линейного участка для организации БШС на базе семейства протоколов IEEE 802.11. Задан линейный участок  $L = 230$  метров. На данном участке были отобраны  $|A| = 6$  возможных точек размещения базовых станций с координатами  $l_i$ , представленными в таблице 13. Задано множество станций  $|S| = 5$ . Задано бюджетное ограничение  $C = 12000$  руб. На концах участка размещены шлюзы  $s_0$  и  $s_{m+1}$  с параметрами (таблица 14)

Точки размещения, $a_i$	$a_1$	$a_2$	$a_3$	$a_4$	$a_5$	$a_6$
Координаты, $l_i$	36	51	115	135	182	191

Таблица 13 — Координаты точек размещения

Требуется найти максимальное телекоммуникационного покрытия заданного участка с учетом ограничением на стоимость и условием обеспечения связи между заданными шлюзами через систему размещенных БС.

Шлюз	$P_{tr}^R$	$P_{recv}^R$	$G_{recv}^R$	$L$
№	дБ	дБ	дБ	дБ
$s_0$	20	-77	5	1
$s_{m+1}$	20	-77	5	1

Таблица 14 — Параметры шлюзов

На рынке представлен широкий спектр технических устройств от компаний Cisco, Mikrotik и т.д., позволяющих организовывать сеть в открытой местности и учитывающие климатические сложности, как например на нефтегазовых месторождениях, такие как предельные температуры, сила ветра и т.д. Под БС будем понимать точку доступа с антеннами для обеспечения телекоммуникационного покрытия заданной области и антеннами для обеспечения телекоммуникационной связи с соседними станциями БШС.

В ходе этапа выбора комплекса технических средств были отобраны  $|S| = 5$  БС. Каждой БС приписаны паспортные характеристики антенн и итоговая стоимость станции. Стоимость взята условная, чтобы не указывать реальные цены производителя на время написания диссертации и курс валют. Рабочая частота 2,4 ГГц. В таблице 15 представлены параметры БС. Верхний индекс  $R$  указывает на характеристики антенн для связи между станциями, верхний индекс  $r$  указывает на характеристики антенн для покрытия заданного участка. Здесь  $P_{tr}^R$  – мощность направленной антенны,  $G_{tr}^R$  – усиление направленной антенны,  $P_{recv}^R$  – чувствительность направленной антенны,  $L$  – потери в антенном кабеле и разъемах, передающего тракта,  $P_{recv}^r$  – чувствительность всенаправленной антенны,  $G_{recv}^r$  – усиление всенаправленной антенны и  $c$  – стоимость.

S	$P_{tr}^R$	$G_{tr}^R$	$P_{recv}^R$	$L$	$P_{recv}^r$	$G_{recv}^r$	$c$
	дБм	дБ	дБм	дБ	дБм	дБ	руб.
1	19	2	-77	1	-67	5	4600
2	20	2	-77	1	-73	2	4100
3	19	2	-77	1	-73	2	3800
4	19	2	-75	1	-70	2	3200
5	18	2	-77	1	-67	4	3600

Таблица 15 — Параметры БС для задачи ЦЛП

Для расчета области покрытия необходимо задаться характеристиками пользовательских устройств, с которых будет собираться информация (таблица 16).

Устройство	$P_{tr}^{ud}$	$G_{tr}^{ud}$	$L^{ud}$
	дБ	дБ	дБ
	9	1	0

Таблица 16 — Параметры устройств

Необходимо подготовить параметры станций: радиус связи  $R_{jq}$  и радиус покрытия  $r_j$ . В обоих случаях воспользуемся уравнение потерь в свободном пространстве. Для расчета связи между станциями запас на замирания сигнала ( $SOM$ ) примем равным 20 дБ и для расчета области покрытия равным 14 дБ.

**Расчет радиуса связи между станциями.** Расчет потерь между станциями  $s_j$  и  $s_q$ , согласно формуле (1.4) выражается как

$$L_{fs}^{jq} = P_{tr}^R(j) - L(j) + G_{tr}^R(j) + G_{tr}^R(q) - L(q) - P_{recv}^R(q) - SOM.$$

Для примера представлен расчет радиуса связи между станциями  $s_1$  и  $s_2$ :

$$\begin{aligned} L_{fs}^{12} &= P_{tr}^R(1) - L(1) + G_{tr}^R(1) + G_{tr}^R(2) - L(2) - P_{recv}^R(2) - SOM = \\ &= 19 - 1 + 2 + 2 - 1 - (-69) - 20 = 78(\text{дБ}). \end{aligned} \quad (4.1)$$

Для расчета дальности связи воспользуемся формулой (1.5). Несущая частота  $F = 2437$  МГц и коэффициент для расчета потерь  $K = -27,55$ :

$$\begin{aligned} R_{jq} &= 10^{\left( \frac{L_{fs}^{jq} - 20 \lg F + G_{tr}^R(j) + G_{tr}^R(q) - K}{20} \right)} = \\ &= 10^{\left( \frac{78 - 20 \lg 2437 + 2 + 2 - (-27,55)}{20} \right)} = 123(\text{м}). \end{aligned} \quad (4.2)$$

В таблице 17 приведены радиусы связи между всеми станциями  $s_j$ ,  $j = 1, \dots, m$  и шлюзом  $s_{m+1}$ .

### Расчет радиуса покрытия

Расчет проводится аналогично расчету радиусу связи между станциями. Потери в свободном пространстве для канала между  $j$ -ой станции и контролируемым объектом

$R_{jq}$	$s_1$	$s_2$	$s_3$	$s_4$	$s_5$	$s_0$	$s_{m+1}$
$s_1$	—	123	123	98	123	246	246
$s_2$	138	—	138	110	138	276	276
$s_3$	123	123	—	98	123	246	246
$s_4$	123	123	123	—	123	246	246
$s_5$	195	155	195	195	—	276	219
$s_0$	276	276	276	219	276	—	—
$s_{m+1}$	276	276	276	219	276	—	—

Таблица 17 — Рассчитанные радиусы связи между станциями

$$L_{fs}^j = P_{tr}^{ud} - L^{ud} + G_{tr}^{ud} + G_{recv}^r(j) - L(j) - P_{recv}^r(j) - SOM.$$

Пример расчета радиуса покрытия для станции  $s_1$ :

$$\begin{aligned} L_{fs}^1 &= P_{tr}^{ud} - L^{ud} + G_{tr}^{ud} + G_{recv}^r(1) - L(1) - P_{recv}^r(1) - SOM = \\ &= 9 - 0 + 1 + 5 - 1 - (-67) - 14 = 67 \text{ (дБ)}. \end{aligned} \quad (4.3)$$

$$r_1 = 10^{\left(\frac{67 - 20 \lg 2437 + 1 + 5 - (-27.55)}{20}\right)} = 44 \text{ (м)}.$$

Радиусы покрытия для всех станций  $s_j$ ,  $j = \overline{1, m}$  представлены в таблице 18).

STA	$s_1$	$s_2$	$s_3$	$s_4$	$s_5$	$s_0$	$s_{m+1}$
$r_j$	44	44	44	31	35	0	0

Таблица 18 — Рассчитанные радиусы покрытия станций

Теперь можно приступить к решению задачи ЦЛП. Математическая модель задачи ЦЛП (2.1) – (2.16) написана в коммерческом продукте Matlab и решена с Optimization Toolbox [87]. Код программы представлен в <https://github.com/m0000Amir/ILP>.

$a_i$	$a_1$	$a_2$	$a_3$	$a_4$	$a_5$	$a_6$	Покрытие	Цена
Координаты	36	51	115	135	182	191	м	руб.
Целочисленное решение 1	—	$s_2$	$s_3$	—	—	$s_5$	219	11500
Целочисленное решение 2	$s_5$	—	$s_1$	—	—	$s_3$	229	12000
Оптимальное решение	$s_2$	—	$s_5$	—	—	$s_3$	230	11500

Таблица 19 — Решение задачи ЦЛП

В ходе движения по дереву поиска было получено 3 целочисленных решения. Оптимальным решением является последнее найденное целочисленное решения. Результаты решения представлены в таблице 19. Величина покрытия полученного размещения равна 230 метров, суммарная стоимость составила 11500 руб.

### 4.3 Численный пример оптимального размещения базовых станций сети с линейной топологией в виде экстремальной задачи в комбинаторной форме

Теперь решим эту же задачу с помощью предложенного алгоритма. Кроме бюджетного ограничения, будем учитывать ограничение на время задержки в БШС. Предложенный алгоритм позволяет получить не только оптимальное размещение, но и последовательность лучших размещений. При проектировании БШС такой подход позволяет проверить допустимые решения, когда оптимальное решение не удовлетворяет требования на следующих этапах после синтеза топологии БШС.

Задан линейный участок  $L = 230$  метров, на котором необходимо разместить БС для организации БШС на базе семейства протоколов IEEE 802.11. Заданы  $|A| = 6$  возможных точек размещения базовых станций с координатами  $l_i$  (таблица 13). Задано множество станций  $|S| = 5$ . Задано бюджетное ограничение  $C = 12000$  руб. и ограничение на время доставки пакетов  $T = 0,5$  мс. Будем считать, что на каждую БС пакеты поступают со средним размером пакетов  $w = 1500$  байт (0,012 Мбит) и с интенсивностью  $\lambda = 100 \text{ с}^{-1}$ . Для поиска допустимых размещений задано отклонение от оптимального  $\varepsilon = 0,5\%$ .

На концах участка размещены шлюзы  $s_0$  и  $s_{m+1}$  с параметрами в таблице 14. Характеристиками пользовательских устройств представлены в таблице 16.

Требуется найти максимальное телекоммуникационного покрытия заданного участка с учетом ограничением на стоимость и время задержки пакетов и условием обеспечения связи между заданными шлюзами через систему размещенных БС.

В ходе этапа выбора комплекса технических средств были отобраны  $|S| = 5$  БС. Каждой БС приписаны паспортные характеристики антенн, пропускная

способность точки доступа и итоговая стоимость станции. Будем рассматривать БШС для задачи мониторинга, то есть с каналом передачи на верхний уровень, UL. Рабочая частота 2,4 ГГц. Для каждой БС будем использовать пропускную способность для модуляции и схемы кодирования MCS7. В таблице 20 представлены параметры БС. Верхний индекс  $R$  указывает на характеристики антенн для связи между станциями, верхний индекс  $r$  указывает на характеристики антенн для покрытия заданного участка. Здесь  $P_{tr}^R$  – мощность направленной антенны,  $G_{tr}^R$  – усиление направленной антенны,  $P_{recv}^R$  – чувствительность направленной антенны,  $L$  – потери в антенном кабеле и разъемах, передающего тракта,  $P_{recv}^r$  – чувствительность всенаправленной антенны,  $G_{recv}^r$  – усиление всенаправленной антенны,  $p$  – пропускная способность,  $c$  – стоимость.

S	$P_{tr}^R$	$G_{tr}^R$	$P_{recv}^R$	$L$	$P_{recv}^r$	$G_{recv}^r$	$p$	$c$
№	дБм	дБ	дБм	дБ	дБм	дБ	Мбит/с	руб.
1	19	2	-77	1	-67	5	72,2	4600
2	20	2	-77	1	-73	2	72,2	4100
3	19	2	-77	1	-73	2	72,2	3800
4	19	2	-75	1	-70	2	72,2	3200
5	18	2	-77	1	-67	4	72,2	3600

Таблица 20 — Параметры БС для задачи в комбинаторной форме

### Расчет времени задержки

В данной постановке необходимо рассчитывать время необходимое для передачи пакета через сеть от источника до места назначения. На примере БШС, состоящих из двух станций  $s_1$  и  $s_2$  рассмотрим пример расчета времени межконцевой задержки.

Будем рассматривать БШС как СеМО с кросс-траффиком, то есть каждый БС представляет собой фазу обслуживания и на каждую такую фазу приходят пакеты с интенсивности  $\lambda$ .

Интенсивность времени обслуживания  $\mu_1$  для станций  $s_1$

$$\mu_1 = 0.5 \cdot p_1 / w = 0.5 \cdot 72.2 / 0.012 = 3008,33 \text{ (с)}^{-1}. \quad (4.4)$$

Интенсивность времени обслуживания для станций  $s_2$  равна  $\mu_2 = 3008,33 \text{ (с)}^{-1}$ .

Коэффициент загрузки для  $s_1$  равен

$$\rho_1 = \lambda / \mu_1 = 100 / 3008,33 = 0,033. \quad (4.5)$$

Среднее время нахождения пакетов в канале для  $s_1$  равен

$$\overline{T}_1 = \frac{\rho_1}{1 - \rho_1} \cdot \frac{1}{\lambda} = \frac{0,033}{1 - 0,033} \cdot \frac{1}{100} = 0,00034 \text{с.} \quad (4.6)$$

На вход следующей фазы поступает поток с первой фазы с интенсивностью  $\lambda$  и кросс-трафик с такой же интенсивностью  $\lambda$ . Коэффициент загрузки для  $s_2$  равен

$$\rho_2 = 2 \cdot \lambda / \mu_2 = 2 \cdot 100 / 3008,33 = 0,066. \quad (4.7)$$

Среднее время нахождения пакетов в канале для  $s_2$  равен

$$\overline{T}_2 = \frac{\rho_2}{1 - \rho_2} \cdot \frac{1}{2 \cdot \lambda} = \frac{0,066}{1 - 0,066} \cdot \frac{1}{200} = 0,00036 \text{с.} \quad (4.8)$$

Время межконцевой задержки для сети с двумя станциями равна

$$\overline{T} = \overline{T}_1 + \overline{T}_2 = 0,00034 + 0,00036 = 0,0007 \text{с.} \quad (4.9)$$

Теперь можно приступить непосредственно к поиску оптимального размещения. Для оценки недопокрытия справа использовалась задача 2. В таблице 21 представлены рекордные оценки недопокрытия, найденные в ходе движения по дереву поиска, стоимости размещения, межконцевые задержки и номера узлов дерева, на которых найдены рекордные значения. Оптимальное решение задачи  $f(p) = 0$  (м).

Полученное размещение передается на следующий этап – математического моделирования, где проверяются оценки характеристик производительности сети. Если данное размещение не удовлетворяет требованиям, необходимо проверить, имеются ли еще размещения с недопокрытием не больше оптимального на  $\varepsilon$  % от заданного отрезка. В таблице 22 представлены допустимые размещения с отклонением на  $\varepsilon = 0.5\%$  ( $d = 1.15$  м). На примере допустимого размещения №7 с недопокрытием  $f(p) = 1$  (м), что больше, чем у оптимального, но с меньшей итоговой стоимостью на 500 руб., можно проверить последний канал сети, являющийся самым загруженным с параметрами другой станции. Здесь вместо станции  $s_3$  размещается станция  $s_2$ .



№	Рекорд, м	Стоимость, руб.	Задержка, мс	Узел дерева	Размещение					
					$a_1$	$a_2$	$a_3$	$a_4$	$a_5$	$a_6$
1	84	11900	1,07	7	$s_1$	$s_2$	$s_4$	—	—	—
2	73	11900	1,07	25	$s_1$	$s_2$	—	$s_4$	—	—
3	65	12000	1,07	61	$s_1$	$s_3$	—	$s_5$	—	—
4	60	11900	1,07	91	$s_1$	$s_4$	—	$s_2$	—	—
5	56	12000	1,07	127	$s_1$	$s_5$	—	$s_3$	—	—
6	17	11900	1,07	161	$s_1$	—	$s_2$	—	$s_4$	—
7	9	11900	1,07	171	$s_1$	—	$s_2$	—	—	$s_4$
8	4	12000	1,07	193	$s_1$	—	$s_3$	—	—	$s_5$
<b>9</b>	<b>0</b>	<b>12000</b>	<b>1,07</b>	<b>213</b>	<b><math>s_1</math></b>	—	<b><math>s_5</math></b>	—	—	<b><math>s_3</math></b>

Таблица 21 — Оптимальное решение

№	Решение	Рекорд, м	Стоимость, руб.	Задержка, мс	Размещение					
					$a_1$	$a_2$	$a_3$	$a_4$	$a_5$	$a_6$
<b>0</b>	<b>Оптимальное</b>	<b>0</b>	<b>12000</b>	<b>1,07</b>	<b><math>s_1</math></b>	—	<b><math>s_5</math></b>	—	—	<b><math>s_3</math></b>
1	Допустимое	0	11500	1,07	$s_2$	—	$s_5$	—	—	$s_3$
2	Допустимое	0	12000	1,07	$s_3$	—	$s_5$	—	—	$s_1$
3	Допустимое	0	11500	1,07	$s_3$	—	$s_5$	—	—	$s_2$
4	Допустимое	0	12000	1,07	$s_5$	—	$s_1$	—	—	$s_3$
5	Допустимое	1	11500	1,07	$s_5$	—	$s_2$	—	—	$s_3$
6	Допустимое	1	12000	1,07	$s_5$	—	$s_3$	—	—	$s_1$
7	Допустимое	1	11500	1,07	$s_5$	—	$s_3$	—	—	$s_2$

Таблица 22 — Допустимые решения

#### 4.4 Метод ветвей и границ на примере задачи размещения двух базовых станций

Для наглядного понимания предложенного алгоритма типа ветвей и границ рассмотрим частный случай задачи в комбинаторной форме на примере размещения  $m = 2$  БС при заданных  $n = 3$  точках размещения. Общее количество  $\gamma$  вариантов расстановки  $m$  станций по  $n$  точкам размещения равна

$$\gamma = C_n^m \cdot m!. \quad (4.10)$$

Пусть задан отрезок  $\alpha$  длиной  $L = 50$  с концами в точках  $a_0$  и  $a_4$  с координатами  $l_0 = 0$   $l_4 = 50$ . Внутри данного отрезка имеется множество точек размещения  $A = \{a_i\}, i = 1, 2, 3$  с координатами  $l_1 = 20, l_2 = 30, l_3 = 40$ .

Задано множество БС  $S = \{s_j\}, j = 1, 2$ . Каждой станции приписаны параметры  $s_j = \{r_j, \{R_{jq}\}\}$ . Для  $s_1$  задано  $r_1 = 25, R_{10} = 62, R_{12} = 35, R_{14} = 31$ . Для  $s_2$  задано  $r_2 = 9, R_{20} = 31, R_{12} = 28, R_{24} = 39$ . На концах отрезка размещены шлюзы  $s_0$  и  $s_4$ . Радиус связи шлюзов для соединения с БС  $R_{01} = R_{41} = 62$  и  $R_{02} = R_{42} = 39$ .

Необходимо разместить БС  $s_1$  и  $s_2$ , т.е. найти такую расстановку  $P^*$ , которая минимизирует функционал недопокрытия  $f(P)$  (2.1).

Общее количество размещения двух станций по трем точкам равно  $\gamma = C_3^2 \cdot 2! = 6$  (формула (4.10)).

### Решение с помощью МВиГ.

Решим данной пример задачи в соответствии с разработанным МВиГ. Так как условием размещения является ли расстановка всех имеющихся БС, теперь не нужно учитывать ограничения на стоимость и величину задержки, допустимая расстановка должна удовлетворять только требованию 1, а также условию размещения всех имеющихся БС.

Для задачи в комбинаторной форме условие размещения всех  $m$  станций гарантируется, когда число пар в наборе  $P = \{(a_i, s_j), a_i \in A, i \neq 0, i \neq n + 1; s_j \in S\}$  равно мощности множества размещения  $|S|$ .

Так как теперь количество размещаемых мест зафиксировано, в уравнении (2.21) для оценки "недопокрытия" справа  $w_2(G_v)$  вместо труднорешаемой **задачи 2** воспользуемся уравнением:

$$w_2(G_v) = \max\{(l_{n+1} - l_k) - (r_t + \sum_{j \in S_v} 2 \cdot r_j), 0\}, \quad (4.11)$$

где  $S_\beta$  подмножества еще не размещенных станций,  $r_t$  – радиус покрытия размещаемой станции  $S_t$ ,  $l_k$  – координата точки размещения  $a_k$ .

На рисунке 4.5 представлено дерево решения задачи методом ветвей и границ. Каждый узел пронумерован согласно правилам **процедуры 1**. Оранжевым цветом указаны листья, в которых либо получили расстановку станций, либо на данном множестве  $G_v$  набор фиксированных и запрещенных переменных  $\pi_{ij}$  делает недопустимым любое размещение (обозначено символом  $\emptyset$ ).

Закрытие вершины осуществляется в случаях если:

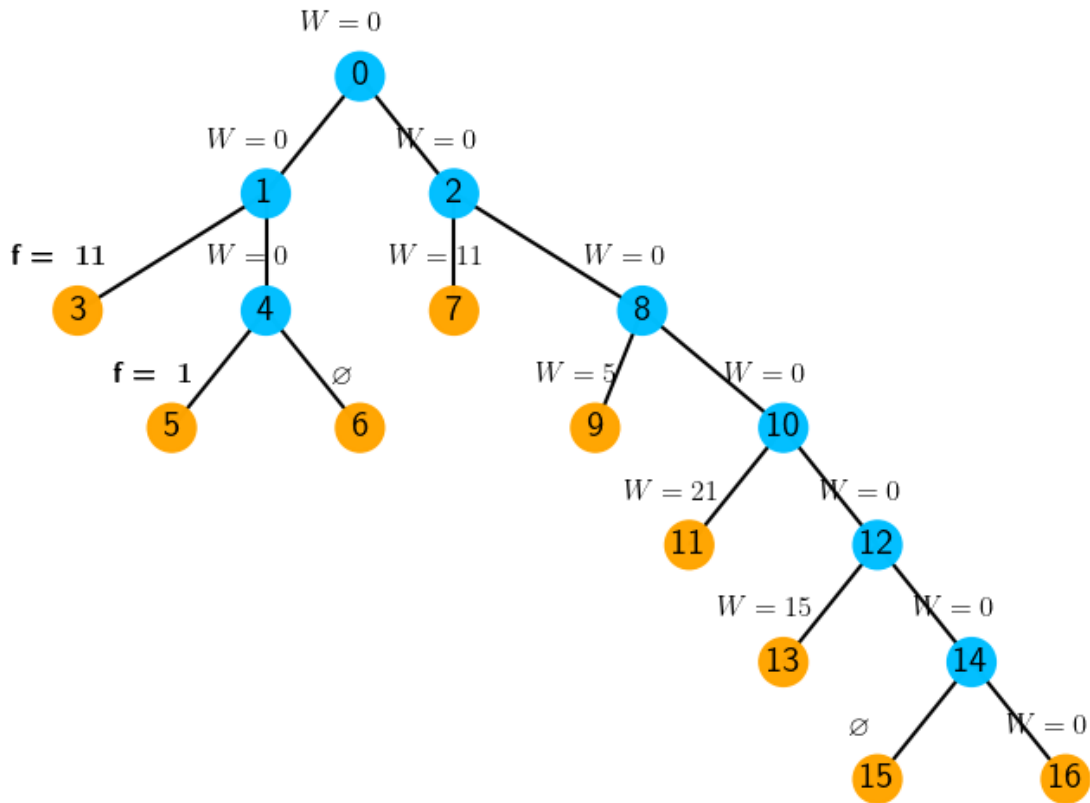


Рисунок 4.5 — Решение задачи методом ветвей и границ

1. получен новый рекорд размещения;
2. оценка «недопокрытия» больше рекорда, полученного на предыдущих итерациях;
3. нет допустимого размещения БС.

Перейдем к исследованию множеств на возможность закрытия.

**Исследование множества  $G_0$ .**

За начальный рекорд примем длину всего отрезка  $\hat{P} = L = 50$ .

Построение оценки  $W(G_0)$ :

$$W(G_0) = \max\{L - 2(r_1 + r_2), 0\} = \max\{50 - 2(25 + 9), 0\}.$$

Разбиваем множества  $G_0$  на два подмножества  $G_1 = G_0^1$  ( $\pi_{11} = 1$ ) и  $G_2 = G_0^2$  ( $\pi_{11} = 0$ ). Исследуем левое дочернее подмножество  $G_1$ . Правое подмножество  $G_2$  оставим для обратного шага.

**Исследование множества  $G_1$ .**

Случай 1.

Проверка требования 1.

Шаг 1.

Проверяем, что каждый из радиусов  $R_{10}$  и  $R_{01}$  не меньше расстояния до левого шлюза  $s_0$ .

$$l_1 - l_0 \leq R_{10} \rightarrow 20 - 0 \leq 62;$$

$$l_1 - l_0 \leq R_{01} \rightarrow 20 - 0 \leq 62;$$

Шаг 2. Осталось неразмещенная БС  $s_2$ . Проверяем, что радиусы связи  $R_{12}$  и  $R_{21}$  не меньше расстояния до правой точки от  $a_1$  точка  $a_2$ .

$$l_2 - l_1 \leq R_{12} \rightarrow 30 - 20 \leq 35;$$

$$l_2 - l_1 \leq R_{21} \rightarrow 30 - 20 \leq 28.$$

Шаг 3.

Так как осталась только одна нераспределенная станция  $s_2$ , проверяем, что расстояние среди еще незанятых точек справа от точки  $a_1$  есть такая точка, что расстояния от этой точки до точки  $a_1$  и одновременно от этой точки до точки  $a_{n+1}$  не больше, чем радиус связи у нераспределенной станции.

Проверка точки  $a_2$ .

$$l_2 - l_1 \leq R_{21} \rightarrow 30 - 20 \leq 28;$$

$$l_4 - l_2 \leq R_{21} \rightarrow 50 - 20 \leq 31;$$

Проверка точки  $a_2$ .

$$l_3 - l_1 \leq R_{21} \rightarrow 40 - 20 \leq 28;$$

$$l_4 - l_3 \leq R_{21} \rightarrow 50 - 40 \leq 31;$$

Проверка обеспечения связи между размещаемыми БС произведена, можно приступать к оценке недопокрытия.

Случай 2.

Построение оценки  $W(G_1)$ :

$$W(G_1) = w_1(G_1) + w_2(G_1).$$

Недопокрытие слева от размещаемой БС  $s_1$ :

$$w_1(G_1) = \max\{(l_1 - l_0) - r_1, 0\} \rightarrow \max\{(20 - 0) - 25, 0\} = 0.$$

И оценка недопокрытия справа от размещаемой БС  $s_1$ :

$$w_2(G_1) = \max\{(l_4 - l_1) - (r_1 + 2r_2), 0\} \rightarrow \max\{(50 - 20) - (25 + 2 \cdot 9), 0\} = 0.$$

Итоговая оценка

$$W(G_1) = 0 + 0 = 0.$$

Разбиваем множества  $G_1$  на два подмножества  $G_3 = G_1^1$  ( $\pi_{22} = 1$ ) и  $G_4 = G_1^2$  ( $\pi_{22} = 0$ ). Исследуем левое дочернее подмножество  $G_3$ . Правое подмножество  $G_4$  оставим для обратного шага.

**Исследование множества  $G_3$ .**

Случай 1.

Проверка требования 1 проводится аналогичным образом. Перейдем к расчету оценки.

Случай 2.

Построение оценки  $W(G_3)$ :

$$W(G_3) = w_1(G_3) + w_2(G_3).$$

Недопокрытие слева от размещаемой БС  $s_2$ :

$$w_1(G_3) = w_1(G_1) + (l_2 - l_1) - (r_1 + r_2) \rightarrow 0 + \max\{(30 - 20) - (25 + 9), 0\} = 0 + 0 = 0$$

Оценка недопокрытия справа от размещаемой БС  $s_2$ :

$$w_2(G_3) = \max\{(l_4 - l_2) - r_2, 0\} \rightarrow \max\{(50 - 30) - 9, 0\} = 11.$$

$$W(G_3) = 0 + 11 = 11.$$

Все  $m$  станции размещены,  $f(P_1) = W(G_3)$ . Так как  $f(P_1) \leq f(\hat{P}) \rightarrow f(P_1) \leq 50$ , полученное недопокрытие  $f(P_1)$  принимается за новый рекорд.

Следующим этапом будет обратный шаг по дереву поиска, так как все станции размещены, то есть нет свободных переменных  $\pi_{ij}$  в множестве  $\Pi^f$ .

Незакрытая вершина с наибольшим порядковым номером – вершина  $G_4$  с условием  $\pi_{22} = 0$ .

**Исследование множества  $G_4$ .**

Случай 2.

Оценка правого дочернего узла  $W(G_4)$  равна оценке материнского узла  $W(G_1)$ ,  $w_1(G_4) = w_1(G_1)$ ,  $w_2(G_4) = w_2(G_1)$ , и  $W(G_4) = W(G_1) = 0$ .

Разбиваем множества  $G_4$  на два подмножества  $G_5 = G_4^1$  ( $\pi_{32} = 1$ ) и  $G_6 = G_4^2$  ( $\pi_{32} = 0$ ).

**Исследование множества  $G_5$ .**

Случай 1. Успешная проверка требования 1.

Случай 2.

Построение оценки  $W(G_5)$ :

$$W(G_5) = w_1(G_5) + w_2(G_5).$$

Недопокрытие слева от размещаемой БС  $s_2$ :

$$w_1(G_5) = w_1(G_5) + (l_3 - l_1) - (r_1 + r_2) \rightarrow 0 + \max\{(40 - 20) - (25 + 9), 0\} = 0 + 0 = 0$$

Оценка недопокрытия справа от размещаемой БС  $s_2$ :

$$w_2(G_5) = \max\{(l_4 - l_3) - r_2, 0\} \rightarrow \max\{(50 - 40) - 9, 0\} = 1.$$

$$W(G_5) = 0 + 1 = 1.$$

Все  $m$  станции размещены,  $f(P_2) = W(G_5)$ . Так как  $f(P_2) \leq f(\hat{P})$ , полученное недопокрытие  $f(P_2)$  принимается за новый рекорд.

В ходе движения по дереву поиска исследования вершин происходило аналогичным образом как показано ранее. Оптимальным решением задачи стала расстановка  $P_2$  с непокрытием  $f(P_2) = 1$ . В таблице 23 представлены полученные оценки в ходе движения по дереву ветвлений. Все вершины закрыты, количество пройденных узлов бинарного дерева поиска МВиГ составляет 16.

**Решение полным перебором.**

В качестве оценки алгоритма, чтобы не зависеть от мощности аппаратного и программного обеспечения, рассмотрим количество пройденных узлов. Для сравнения решим задачу полным перебором.

№	Номер узла дерева, $\nu$	Оценка недопокрытия, $W(G_\nu)$	Недопокрытие, $f(P)$	Размещение		
				$a_1$	$a_2$	$a_3$
1	0	0	50	—	—	—
2	1	0	Рекорд	$s_1$	—	—
3	3	11		$s_1$	$s_2$	—
4	4	0		$s_1$	—	—
5	5	1	Рекорд	$s_1$	—	$s_2$
6	6	0	$\emptyset$	$s_1$	—	—
7	2	0	$\emptyset$	—	—	—
8	7	11		$s_2$	—	—
9	8	0		—	—	—
10	9	5		—	$s_1$	—
11	10	0		—	—	—
12	11	21		—	$s_2$	—
13	12	0		—	—	—
14	13	15		—	—	$s_1$
15	14	0		—	—	—
16	15	0		—	—	—
17	16	0		—	—	—

Таблица 23 — Решение методом ветвей и границ

Процесс решения задачи полным перебором представлен в виде бинарного дерева поиска на рисунке 4.6. В таблице 24 представлены полученные в ходе решения расстановки. Все расстановки пронумерованы в соответствии с порядком их нахождения. Оптимальным решением  $P^*$  с минимальным значением функции (2.17) является допустимая расстановка  $P_2$ . Количество пройденных узлов в ходе решения задачи составляет 24.

На примере частного случая размещения 2 БС по 3 точкам размещения было представлено МВиГ. Представлены деревья бинарного поиска для МВиГ и МПП. Предложенный метод позволяет сократить количество пройденных узлов в ходе поиска оптимального решения.

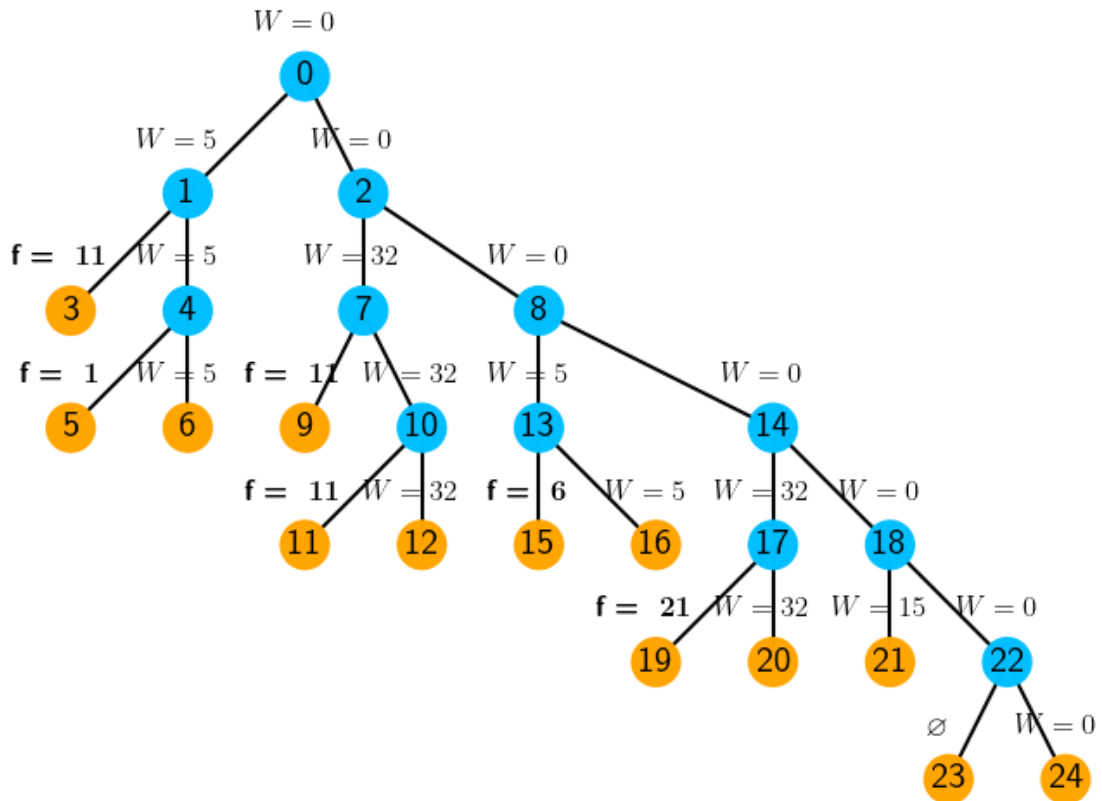


Рисунок 4.6 — Решение задачи методом полного перебора

Расстановка, $P$	Недопокрытие, $f(P)$	Номер узла дерева, $\nu$	Размещение		
			$a_1$	$a_2$	$a_3$
$P_1$	11	3	$S_1$	$S_2$	—
$P_2$	1	5	$S_1$	—	$S_2$
$P_3$	11	9	$S_2$	$S_1$	—
$P_4$	11	11	$S_2$	—	$S_1$
$P_5$	6	15	—	$S_1$	$S_2$
$P_6$	21	19	—	$S_2$	$S_1$
Количество пройденных узлов			24		

Таблица 24 — Решение полным перебором

#### 4.5 Сравнения оценок «недопокрытия» для задачи 2, 3 и 4

В таблице 25 приведены результаты вычислительного эксперимента, показывающего время решения задач 2, 3, 4 и относительную точность задачи 3, 4 по отношению к задаче 2.



Для непокрытого участка справа длины  $|\beta| = 50$ , варьируя количеством не размещенных БС, а также количеством свободных мест размещения требуется рассчитать оценку недопокрытия при бюджетном ограничении  $C = 600$ .

Как видно из результатов расчетов в таблице 25, представляется целесообразным использовать задачу 4 в качестве оценки  $w_2(G_v)$  для решения задач большой размерности, так как время ее расчета в виде задачи ЛП существенно ниже с учетом высокой точности относительно задачи 2.

Количество точек размещения, $m$	Количество свободных станций, $ S_B $	ЦЛП		Задача «О ранце»			ЛП		
		Задача 2		Задача 3			Задача 4		
		Время расчета, сек	Недопокрытие, $z$	Время расчета, сек	Недопокрытие, $z$	Точность, %	Время расчета, сек	Недопокрытие, $z$	Точность, %
5	6	0,3250	436	0,3214	426,00	97,71	0,0047	436,00	100,00
5	8	0,3218	431	0,3582	398,00	92,34	0,0045	431,00	100,00
8	10	0,3765	395	0,3621	375,00	94,94	0,0094	395,00	100,00
8	12	0,3746	390	0,2977	347,00	88,97	0,0094	390,00	100,00
12	15	0,3363	339	0,2960	309,00	91,15	0,0114	339,00	100,00
12	17	0,4072	336	0,3456	283,00	84,23	0,0136	336,00	100,00
18	20	0,3558	265	0,3407	265,00	100,00	0,0121	265,00	100,00
18	25	0,3794	260	0,3096	259,00	99,62	0,0169	257,60	99,08
25	30	0,3177	246	0,3576	246,00	100,00	0,0222	244,33	99,32
25	45	0,3539	229	0,3556	229,00	100,00	0,0494	226,40	98,86
30	50	0,2994	225	0,3146	225,00	100,00	0,0570	224,13	99,61
30	100	0,5179	223	0,5177	223,00	100,00	0,1513	218,75	98,09

Таблица 25 — Сравнение методов расчета оценок недопокрытия справа

#### 4.6 Сравнительная оценка полученных модели ЦЛП и модели в комбинаторной форме, решаемой с помощью МВиГ

Для решения задачи оптимального размещения базовых станций вдоль линейной территории были представлены математическая модель целочисленного линейного программирования и комбинаторная модель в экстремальной форме, для которой представлен специальный алгоритм на основе метода ветвей и границ, учитывающий специфику задачи – размещение вдоль линейной территории и обеспечения связи между всеми размещенными станциями.

В обеих моделях предполагается, что из заданного множества БС может быть размещено любое количество станций, удовлетворяющих условиям задачи. Через систему размещенных БС необходимо обеспечить связь между левым и правым плюзом. Для задачи ЦЛП размещение должно удовлетворять бюджетному ограничению. И для задачи в комбинаторной форме задача должна удовлетворять бюджетному ограничению и ограничению на время межконцевой задержки сети.

Для того чтобы сравнить полученные модели, рассмотрим частный случай задачи максимизации покрытия с размещением всех имеющихся БС. Опустим бюджетное ограничение для обеих задач и для комбинаторной модели также ограничение на время задержки в сети. Вместо данных ограничений, добавим условие размещения всех имеющихся  $m$  станций. Такая постановка позволит зафиксировать множество вариантов размещения, необязательно только допустимых. Общее количество  $\gamma$  вариантов расстановки  $m$  станций по  $n$  точкам размещения выражается с помощью уравнения (4.10).

Для обеспечения условия размещения всех  $m$  станций в случае комбинаторной модели представлено уравнение (4.11). Для задачи ЦЛП данное условие будет выглядеть следующим образом:

$$\sum_{i=1}^n \sum_{j=1}^m x_{ij} = m. \quad (4.12)$$

Для различных случаев числа мест размещения  $m$  и числа станций  $n$  сравним результаты решения задачи представленными моделями. Оценка сравнения с помощью времени счета необъективна, так как предложенный алгоритм МВиГ и сама комбинаторная модель написаны на интерпретируемом языке

Python. Коммерческие продукты представляют быстрые и качественные инструменты. Написание производительного кода для предложенных в данной диссертации моделей является отдельной не простой задачей, выходящей за рамки данного исследования. Коммерческие продукты решающие задачи ЦЛП основаны на алгоритме, предложенном Алисой Лэнд и Элисон Дойг [88], в котором процедура поиска целочисленного решения также использует МВиГ. Поэтому для сравнения моделей будет использована характеристика – число просмотренных вершин в ходе поиска оптимального решения. Для сравнения также будут представлены решения задачи в комбинаторной форме методом полного перебора (МПП).

Для каждого набора станций и мест размещения было рассчитано по 10 примеров с различными параметрами БС. В таблице 26 приводятся усредненные показатели числа просмотренных вершин дерева поиска по каждому 10 примерам. Результаты решения задачи максимизации покрытия влияют не только от количества точек размещения  $n$ , но также от их координат. Примем, что для каждой размерности для всех 10 примеров координаты фиксированные для всех моделей: МПП, МВиГ и ЦЛП.

Жирным цветом в колонках пройденных узлов в ходе движения по дереву поиска МПП, МВиГ и ЦЛП выделены минимальные значения для фиксированных значений  $n$  и  $m$  (размерностей задачи). Как видно из результатов сравнения, при увеличении размерности задачи разработанный алгоритм метода ветвей и границ для комбинаторной модели показывает лучшие результаты по сравнению с математической моделью ЦЛП.

## 4.7 Выводы

1. Представлен программный комплекс для расчета задачи оптимального размещения базовых станций
2. Рассмотрен численный пример оптимального размещения БС в виде задачи ЦЛП;
3. Рассмотрен численный пример оптимального размещения БС задачи в виде комбинаторной модели в экстремальной форме;

Таблица 26 — Результаты численного решения.

Число точек размещения, $n$	Число станций, $m$	Количество вариантов размещения, $\gamma$	Количество пройденных узлов дерева поиска, $\nu$		
			МПП	МВиГ	ЦЛП
7	4	840	3122	360	<b>275</b>
7	5	2 520	16 114	560	<b>45</b>
7	6	5 040	59 564	364	<b>19</b>
8	4	1 680	4954	434	<b>189</b>
8	5	6 720	6720	<b>852</b>	878
8	6	20 160	15 9170	592	<b>185</b>
9	4	3 024	9 882	<b>458</b>	5511
9	5	15 120	58 190	<b>768</b>	1236
9	6	60 480	366 512	<b>720</b>	13294
10	4	5 040	14 868	<b>800</b>	6243
10	5	30 240	113 932	<b>414</b>	8043
10	6	151 200	828 952	<b>40 872</b>	71587
11	4	7 920	23 482	<b>354</b>	15538
11	5	55 440	204 894	<b>9 138</b>	74440
11	6	332 640	1 592 500	<b>88 002</b>	413 767

4. Рассмотрен пример процедура нахождения последовательности лучших решений с помощью предложенного МВиГ;
5. Представлен поиск оптимального размещения с помощью предложенного МВиГ на примере размещения двух станций;
6. Представлено сравнение методов оценки недопокрытия справа;
7. Представлена сравнительная оценка полученных модели ЦЛП и модели в комбинаторной форме, решаемой с помощью МВиГ.

## Список литературы

- [1] N.A. Eremin, V.E. Stolyarov и V.I. Shulyatikov. — «Use of control systems in oil and gas fields». — В: *Automation, Telemechanization and Communication in Oil Industry* 9 (2020), с. 17—29. — DOI: 10.33285/0132-2222-2020-9(566)-17-29.
- [2] A Dmitrievskiy и др. — «On the Draft Strategy for Digital Modernization of the Oil and Gas Complex of the Russian Federation». — В: 241 (дек. 2020), с. 9—13.
- [3] Nikolai Eremin и V.E. Stolyarov. — «A gas well as a key object of a digital field». — В: *Automation, Telemechanization and Communication in Oil Industry* 554 (сент. 2019), с. 5—14. — DOI: 10.33285/0132-2222-2019-9(554)-5-14.
- [4] Srinidhi Hiriyannaiah и др. — «A Multi-layered Framework for Internet of Everything (IoE) via Wireless Communication and Distributed Computing in Industry 4.0». — В: *Recent Patents on Engineering* 14.4 (2020), с. 521—529. — DOI: 10.2174/1872212113666190624120121.
- [5] Sathyan Munirathinam. — «Industry 4.0: Industrial Internet of Things (IIOT)». — В: *Advances in Computers* 117.1 (2020), с. 129—164. — DOI: 10.1016/bs.adcom.2019.10.010.
- [6] M. Carmen Lucas-Estañ и др. — «Emerging trends in hybrid wireless communication and data management for the industry 4.0». — В: *Electronics (Switzerland)* 7.12 (2018). — DOI: 10.3390/electronics7120400.
- [7] Hongfang Lu и др. — «Oil and Gas 4.0 era: A systematic review and outlook». — В: *Computers in Industry* 111 (2019), с. 68—90. — DOI: 10.1016/j.compind.2019.06.007.
- [8] *ГОСТ Р МЭК 62657-2-2016 Сети промышленной коммуникации. Беспроволочные коммуникационные сети. Часть 2. Обеспечение совместимости.* — М.: Стандартинформ, 2016. — 68 с.
- [9] A.N. Dmitrievsky и др. — «Intelligent innovations for wells construction and operation of oil and gas fields». — В: (март 2021), с. 96—104.

- [10] Е.В. Смирнова и др. — *Технология современных беспроводных сетей Wi-Fi*. — Под ред. А.В. Пролетарский. — Москва: МГТУ им. Н. Э. Баумана, 2017. — 446 с.
- [11] Р.А. Дунайцев и К.Ф. Короткин. — «Радиообследование и радиопланирование беспроводных локальных сетей Wi-Fi». — В: *Актуальные проблемы инфотелекоммуникаций в науке и образовании* (2017), с. 270—274.
- [12] Г. Ж. Уанкпо и др. — «Математическая модель анализа надежности неоднородной дублированной системы передачи данных». — В: *Современные информационные технологии и ИТ-образование* 16.2 (2020), с. 285—294.
- [13] Achyutha Krishnamoorthy, Anu Nuthan Joshua и Dmitry Kozyrev. — «Analysis of a Batch Arrival, Batch Service Queuing-Inventory System with Processing of Inventory While on Vacation». — В: *Mathematics* 9.4 (2021), с. 1—29. — DOI: 10.3390/math9040419.
- [14] Dmitry Kozyrev и Dmitry Radkevich. — «Reliability estimation of a broadband wireless network with linear topology and cross redundancy». — В: *AIP Conference Proceedings* 2116 (2019). — DOI: 10.1063/1.5114073.
- [15] Andrey Larionov и др. — «A Multiphase Queueing Model for Performance Analysis of a Multi-hop IEEE 802.11 Wireless Network with DCF Channel Access». — В: *Communications in Computer and Information Science* 1109 (2019), с. 162—176. — DOI: 10.1007/978-3-030-33388-1\_14.
- [16] Vladimir Vishnevsky и др. — «Methods of performance evaluation of broadband wireless networks along the long transport routes». — В: *Communications in Computer and Information Science* 601 (2016), с. 72—85. — DOI: 10.1007/978-3-319-30843-2\_8.
- [17] Vladimir Vishnevsky и др. — «Review of methodology and design of broadband wireless networks with linear topology». — В: *Indian Journal of Pure and Applied Mathematics* 47.2 (2016), с. 329—342. — DOI: 10.1007/s13226-016-0190-7.
- [18] Danmeng Wang. — «Delay prediction with enhanced queueing models and survival analysis». — В: *2016 3rd International Conference on Systems and Informatics, ICSAI 2016*. — IEEE, нояб. 2017, — С. 1101—1105. — ISBN: 9781509055210. — DOI: 10.1109/ICSAI.2016.7811115. — URL: <http://ieeexplore.ieee.org/document/7811115/>.

- [19] Werner Sandmann. — «Delays in a series of queues with correlated service times». — В: *Journal of Network and Computer Applications* 35.5 (2012), с. 1415—1423. — DOI: 10.1016/j.jnca.2011.10.009.
- [20] Hendrik Baumann и Werner Sandmann. — «Multi-server tandem queue with Markovian arrival process, phase-type service times, and finite buffers». — В: *European Journal of Operational Research* 256.1 (2017), с. 187—195. — DOI: 10.1016/j.ejor.2016.07.035.
- [21] В. Т. Еременко и др. — В: *Информационные системы и технологии* 78.4 (2013), с. 96—105.
- [22] Attila Lovas и Miklós Rásonyi. — «Markov chains in random environment with applications in queuing theory and machine learning». — В: *Stochastic Processes and their Applications* 137 (2021), с. 294—326. — DOI: 10.1016/j.spa.2021.04.002.
- [23] Rinda Parama Satya Hermanto и др. — «Waiting-Time Estimation in Bank Customer Queues using RPROP Neural Networks». — В: *Procedia Computer Science* 135 (2018), с. 35—42. — DOI: 10.1016/j.procs.2018.08.147.
- [24] *Интеллектуальная частная беспроводная сеть для работы SMARTField.* — URL: [https://comptek.ru/materials/rajant/RU\\_rajant-oil-and-gas-brochure-012820\\_digital.pdf](https://comptek.ru/materials/rajant/RU_rajant-oil-and-gas-brochure-012820_digital.pdf).
- [25] *Решения Cisco ускоряют цифровую трансформацию нефтегазовой отрасли и помогают добывать нефть за Полярным кругом.* — URL: [https://www.cisco.com/c/ru\\_ru/about/press/press-releases/2020/03-05.html](https://www.cisco.com/c/ru_ru/about/press/press-releases/2020/03-05.html).
- [26] *Wireless Connectivity Solutions for Oil and Gas.* — URL: [https://www.cambiumnetworks.com/wp-content/uploads/2017/03/BR\\_oilGasUtilities\\_01162018\\_pages.pdf](https://www.cambiumnetworks.com/wp-content/uploads/2017/03/BR_oilGasUtilities_01162018_pages.pdf).
- [27] *Industrial Communication Solutions for the Oil and Gas Industry.* — URL: <https://www.gegridsolutions.com/communications/pdf/ics%20oil%20&%20gas-web.pdf>.
- [28] В. Олифер и Н. Олифер. — *Компьютерные сети. Принципы, технологии, протоколы: Юбилейное издание.* — СПб: Питер, 2020. — 1008 с.
- [29] Э. Таненбаум и Д. Уэзеролл. — *Компьютерные сети. 5-е изд.* — СПб: Питер, 2022. — 960 с.

- [30] 802.11 WG - Wireless LAN Working Group. — *IEEE 802.11-2020 - IEEE Standard for Information Technology–Telecommunications and Information Exchange between Systems - Local and Metropolitan Area Networks–Specific Requirements - Part 11: Wireless LAN Medium Access Control (MAC) and Physical Layer (PHY)*. — 2020. — URL: [https://standards.ieee.org/standard/802\\_11-2020.html](https://standards.ieee.org/standard/802_11-2020.html).
- [31] David D Coleman и David A Westcott. — «CWNA: Certified Wireless Network Administrator Study Guide». — В: *CWNA: Certified Wireless Network Administrator Study Guide* (2018). — DOI: 10.1002/9781119549406.
- [32] В.М. Вишнеvский и др. — «Методы исследования и проектирования широкополосных беспроводных сетей вдоль протяженных транспортных магистралей». — В: *T-Comt: Телекоммуникации и Транспорт 9.5* (2015), с. 9—15.
- [33] IEEE 1609 Working Group. — *IEEE Guide for Wireless Access in Vehicular Environments (WAVE) - Architecture*. — 2014, — С. 1—78. — ISBN: 9780738187563. — URL: <https://ieeexplore.ieee.org/document/8686445>.
- [34] В. М. Вишнеvский, С.Л. Портной и Шахнович И.В. — *Энциклопедия WiMAX. Путь к 4G*. — Москва: Техносфера, 2009. — 472 с.
- [35] В. О Тихвинский, С. В. Терентьев и В. П. Высочин. — *Сети мобильной связи LTE/LTE Advanced: технологии 4G, приложения и архитектура*. — Москва: Издательский дом Медиа паблишер, 2014, — С. 384. — ISBN: 978-5-88405-097-5.
- [36] *3rd Generation Partnership Project; Technical Specification Group Radio Access Network; Study on Scenarios and Requirements for Next Generation Access Technologies; (Release 16)*. — 2020. — URL: [https://www.3gpp.org/ftp/Specs/archive/38\\_series/38.913/](https://www.3gpp.org/ftp/Specs/archive/38_series/38.913/).
- [37] Приказ Минкомсвязи России № 923 «Об утверждении Концепции создания и развития сетей 5G/IMT-2020 в Российской Федерации». — Москва, 2019.
- [38] Stephane Teral. — «5G Best Choice Architecture». — В: *IHS Markit Technology* January (2019), с. 1—17. — URL: [https://cdn.ihs.com/www/prot/pdf/0519/IHSMarkit\\_5G\\_Best\\_Choice\\_Architecture.pdf](https://cdn.ihs.com/www/prot/pdf/0519/IHSMarkit_5G_Best_Choice_Architecture.pdf).



- [39] Mirza Golam Kibria и др. — «Next Generation New Radio Small Cell Enhancement: Architectural Options, Functionality and Performance Aspects». — В: *IEEE Wireless Communications* 25.4 (2018), с. 120—128. — DOI: 10.1109/MWC.2018.1700277. — arXiv: 1802.10267.
- [40] Guangyi Liu и др. — «5G Deployment: Standalone vs. Non-Standalone from the Operator Perspective». — В: *IEEE Communications Magazine* 58.11 (2020), с. 83—89. — DOI: 10.1109/MCOM.001.2000230.
- [41] Amine El Rhayour и Tomader Mazri. — «5G Architecture: Deployment scenarios and options». — В: *2019 International Symposium on Advanced Electrical and Communication Technologies, ISAECT 2019* (2019). — DOI: 10.1109/ISAECT47714.2019.9069723.
- [42] Ethem Alpaydm. — «5G PPP Architecture Working Group: View on 5G Architecture». — В: *Version 3.0, June 2019* June (2019), с. 21—470. — URL: [https://5g-ppp.eu/wp-content/uploads/2019/07/5G-PPP-5G-Architecture-White-Paper\\_v3.0\\_PublicConsultation.pdf](https://5g-ppp.eu/wp-content/uploads/2019/07/5G-PPP-5G-Architecture-White-Paper_v3.0_PublicConsultation.pdf).
- [43] Rida El Chall, Samer Lahoud и Melhem El Helou. — «LoRaWAN network: Radio propagation models and performance evaluation in various environments in Lebanon». — В: *IEEE Internet of Things Journal* 6.2 (2019), с. 2366—2378. — DOI: 10.1109/JIOT.2019.2906838.
- [44] Yaokun Zhang и Tianfeng Yan. — «Loss Correction of Wireless Model in Complex Multi Wall Environment». — В: *Journal of Physics: Conference Series* 1757.1 (2021). — DOI: 10.1088/1742-6596/1757/1/012137.
- [45] Giuseppe Caso и Luca De Nardis. — «On the applicability of multi-wall multi-floor propagation models to WiFi fingerprinting indoor positioning». — В: *Lecture Notes of the Institute for Computer Sciences, Social-Informatics and Telecommunications Engineering, LNICST* 159 (2015), с. 166—172. — DOI: 10.1007/978-3-319-27072-2\_21.
- [46] Taewon Kang и Jiwon Seo. — «Practical simplified indoor multiwall path-loss model». — В: *International Conference on Control, Automation and Systems* 2020-Octob (2020), с. 774—777. — DOI: 10.23919/ICCAS50221.2020.9268260.

- [47] О. О. Oni и F. E. Idachaba. — «Review of Selected Wireless System Path loss Prediction Models and its Adaptation to Indoor Propagation Environments». — В: *Lecture Notes in Engineering and Computer Science* 2228 (2017), с. 562—567.
- [48] ГКРЧ Нормы 18-13. Радиопередающие устройства гражданского назначения. Требования на допустимые уровни побочных излучений. — М., 2013.
- [49] Evgenii Krouk и Sergei Semenov. — «Modulation and Coding Techniques in Wireless Communications». — В: *Modulation and Coding Techniques in Wireless Communications* (2010), с. 1—662. — DOI: 10.1002/9780470976777.
- [50] Ms Mollel и M Kisangiri. — «Comparison of Empirical Propagation Path Loss Models for Mobile Communication». — В: *Computer Engineering and Intelligent Systems* 5.9 (2014), с. 1—11. — URL: <http://iiste.org/Journals/index.php/CEIS/article/view/15435>.
- [51] Aymen Zreikat и Milan Dordevic. — «Performance Analysis of Path loss Prediction Models in Wireless Mobile Networks in Different Propagation Environments». — В: *Proceedings of the 3rd World Congress on Electrical Engineering and Computer Systems and Science* (2017). — DOI: 10.11159/vmw17.103.
- [52] Umut Can Cabuk и др. — «Path Loss Estimation of Air-to-Air Channels for FANETs over Rugged Terrains». — В: *2020 28th Signal Processing and Communications Applications Conference, SIU 2020 - Proceedings* (2020). — DOI: 10.1109/SIU49456.2020.9302160.
- [53] Miguel Gutierrez Gaitan и др. — «Experimental evaluation of the two-ray model for near-shore WiFi-based network systems design». — В: *IEEE Vehicular Technology Conference 2020-May* (2020). — DOI: 10.1109/VTC2020-Spring48590.2020.9129548.
- [54] Michael Rademacher, Markus Kessel и Karl Jonas. — «Experimental Results For the Propagation of Outdoor IEEE802.11 Links». — В: *VDE ITG-Fachbericht Mobilkommunikation* (2016).

- [55] Manlio Bacco, Erina Ferro и Alberto Gotta. — «UAVs in WSNs for agricultural applications: An analysis of the two-ray radio propagation model». — B: *Proceedings of IEEE Sensors 2014-December*. December (2014), с. 130—133. — DOI: 10.1109/ICSENS.2014.6984950.
- [56] Erich Zochmann, Ke Guan и Markus Rupp. — «Two-ray models in mmWave communications». — B: *IEEE Workshop on Signal Processing Advances in Wireless Communications, SPAWC 2017-July* (2017), с. 1—5. — DOI: 10.1109/SPAWC.2017.8227681.
- [57] Sinan. Kurt и Bulent Tavli. — «Path-Loss Modeling for Wireless Sensor Networks». — B: *Ieee Antennas and Propagation Magazine* 59 (2017), с. 18—37.
- [58] Masaharu Hata. — «Empirical Formula for Propagation Loss in Land Mobile Radio Services». — B: *IEEE Transactions on Vehicular Technology* 29.3 (1980), с. 317—325. — DOI: 10.1109/T-VT.1980.23859.
- [59] Erik Dahlman, Stefan Parkvall и Johan Skold. — «4G: LTE/LTE-Advanced for Mobile Broadband». — B: *4G: LTE/LTE-Advanced for Mobile Broadband* (2013), с. 1—510. — DOI: 10.1016/C2013-0-06829-6.
- [60] A David и др. — «LTE : The Evolution of Mobile Broadband». — B: *IEEE communications magazine* 47.4 (2009), с. 44—52.
- [61] Shao Yu Lien и др. — «5G New Radio: Waveform, Frame Structure, Multiple Access, and Initial Access». — B: *IEEE Communications Magazine* 55.6 (2017), с. 64—71. — DOI: 10.1109/MCOM.2017.1601107.
- [62] Aymen Omri и др. — «Synchronization procedure in 5G NR systems». — B: *IEEE Access* 7 (2019), с. 41286—41295. — DOI: 10.1109/ACCESS.2019.2907970.
- [63] Jia Liu и др. — «End-to-End Delay Modeling in Buffer-Limited MANETs: A General Theoretical Framework». — B: *IEEE Transactions on Wireless Communications* 15.1 (2016), с. 498—511. — DOI: 10.1109/TWC.2015.2475258. — arXiv: 1509.06969.
- [64] Gongpu Chen и др. — «Joint scheduling and channel allocation for end-to-end delay minimization in industrial WirelessHART Networks». — B: *IEEE Internet of Things Journal* 6.2 (2019), с. 2829—2842. — DOI: 10.1109/JIOT.2018.2875508.

- [65] Inès Hosni и Fabrice Théoleyre. — «Self-healing distributed scheduling for end-to-end delay optimization in multihop wireless networks with 6TiSch». — B: *Computer Communications* 110 (2017), с. 103—119. — DOI: 10.1016/j.comcom.2017.05.014.
- [66] Antonio Capone и др. — «Minimizing end-to-end delay in multi-hop wireless networks with optimized transmission scheduling». — B: *Ad Hoc Networks* 89 (2019), с. 236—248. — DOI: 10.1016/j.adhoc.2019.01.004.
- [67] Nasim Abbas и Fengqi Yu. — «Performance analysis of end-To-end delay and reliability for linear wireless multimedia sensor networks». — B: *Proceedings of 2017 IEEE 3rd Information Technology and Mechatronics Engineering Conference, ITOEC 2017* 2017-January (2017), с. 554—558. — DOI: 10.1109/ITOEC.2017.8122358.
- [68] Hafez Seliem и др. — «On the End-to-End Delay in a One-Way VANET». — B: *IEEE Transactions on Vehicular Technology* 68.9 (2019), с. 8336—8346. — DOI: 10.1109/TVT.2019.2916936.
- [69] Filippo Malandra и Brunilde Sanso. — «A Markov-Modulated End-to-End Delay Analysis of Large-Scale RF Mesh Networks with Time-Slotted ALOHA and FHSS for Smart Grid Applications». — B: *IEEE Transactions on Wireless Communications* 17.11 (2018), с. 7116—7127. — DOI: 10.1109/TWC.2018.2860965.
- [70] Anders Ellersgaard Kalor и др. — «Network slicing in industry 4.0 applications: Abstraction methods and end-to-end analysis». — B: *IEEE Transactions on Industrial Informatics* 14.12 (2018), с. 5419—5427. — DOI: 10.1109/TII.2018.2839721.
- [71] Yan Gao и др. — «Characterization and Optimization of Delay Guarantees for Real-Time Multimedia Traffic Flows in IEEE 802.11 WLANs». — B: *IEEE Transactions on Mobile Computing* 15.5 (2016), с. 1090—1104. — DOI: 10.1109/TMC.2015.2407395.
- [72] В. М. Вишнеvский. — *Теоретические основы проектирования компьютерных сетей*. — Москва: Техносфера, 2003. — 512 с.
- [73] Leonard Kleinrock. — *Theory, Volume 1, Queueing Systems*. — USA: Wiley-Interscience, 1975. — ISBN: 0471491101.

- [74] V. M. Vishnevskii и A. N. Dudin. — «Queueing systems with correlated arrival flows and their applications to modeling telecommunication networks». — В: *Automation and Remote Control* 78.8 (2017), с. 1361—1403. — DOI: 10.1134/S000511791708001X.
- [75] Vladimir Vishnevsky и др. — «State reduction in analysis of a tandem queueing system with correlated arrivals». — В: *Communications in Computer and Information Science* 800 (2017), с. 215—230. — DOI: 10.1007/978-3-319-68069-9\_18.
- [76] Ken'ichi Kawanishi и Tetsuya Takine. — «The M/PH/1+D queue with Markov-renewal service interruptions and its application to delayed mobile data offloading». — В: *Performance Evaluation* (2019). — DOI: 10.1016/j.peva.2019.102002.
- [77] Ozancan Dogan и Nail Akar. — «The Multi-Source Probabilistically Preemptive M/PH/1/1 Queue with Packet Errors». — В: *IEEE Transactions on Communications* (2021). — DOI: 10.1109/TCOMM.2021.3106347.
- [78] A A Larionov, A A Mukhtarov и A M Sokolov. — «The calibration method of a tandem queueing model with PH service time using NS-3 simulation of a multihop wireless network». — В: *Journal of Physics: Conference Series* 2091.1 (2021), с. 012030. — DOI: 10.1088/1742-6596/2091/1/012030.
- [79] *ns3::WifiMacQueue Class Reference*. — URL: [https://www.nsnam.org/doxygen/classns3\\_1\\_1\\_wifi\\_mac\\_queue.html](https://www.nsnam.org/doxygen/classns3_1_1_wifi_mac_queue.html).
- [80] В. Е. Лазарева, А. А. Ларионов и А. А. Мухтаров. — «Расчёт межконцевых задержек и длин очередей в многошаговой тандемной сети с применением методов машинного обучения». — В: *Материалы Всероссийской конференции с международным участием "Информационно-телекоммуникационные технологии и математическое моделирование высокотехнологичных систем" (Москва, 2020)*. — 2020, — С. 43—48.
- [81] В. М. Вишнеvский, А. А. Ларионов и А. А. Мухтаров. — «Расчёт характеристик тандемной сети с фиксированными длинами входящих пакетов методом машинного обучения». — В: *Материалы 13-й конференции с международным участием "Новые информационные технологии в исследовании сложных структур" (ICAM 2020, Томск)*. — 2020, — С. 82.

- [82] Paul J. Burke. — «The Output of a Queuing System». — В: *Operations Research* 4.6 (1956), с. 699—704. — DOI: 10.1287/opre.4.6.699.
- [83] С. С. Владимиров. — *Беспроводные системы передачи данных. Расчет параметров БСПД на основе технологий 802.11 и 802.16 : практикум*. — СПб: СПб- ГУТ, 2019. — 27 с.
- [84] John D. C. Little. — « A Proof for the Queuing Formula:  $L = \lambda W$  ». — В: *Operations Research* 9.3 (1961), с. 383—387. — DOI: 10.1287/opre.9.3.383.
- [85] *Gurobi Optimizer*. — URL: <https://www.gurobi.com/products/gurobi-optimizer/> (дата обр. 10.03.2022).
- [86] *SciPy*. — URL: <https://scipy.org/> (дата обр. 10.03.2022).
- [87] *Optimization Toolbox*. — URL: <https://www.mathworks.com/products/optimization.html> (дата обр. 16.03.2022).
- [88] A. H. Land и A. G. Doig. — «An Automatic Method of Solving Discrete Programming Problems». — В: *Econometrica* 28.3 (1960), с. 497. — DOI: 10.2307/1910129.